



**UNIVERSIDADE FEDERAL DO RIO DE JANEIRO
INSTITUTO DE ESTUDOS EM SAÚDE COLETIVA**

**Aprendizado de Máquina Aplicado ao
Pós-Processamento
do Relacionamento Probabilístico de Bases
de Dados de Saúde**

Marco Elisio Oliveira Jardim

Tese de Doutorado apresentada ao Programa de Pós-Graduação em Saúde Coletiva do Instituto de Estudos de Saúde Coletiva da Universidade Federal do Rio de Janeiro – UFRJ, como parte dos requisitos necessários à obtenção do título de Doutor em Ciências (Saúde Coletiva).

Orientadora: Rejane Sobrino Pinheiro

**Rio de Janeiro
2026**

Jardim, Marco Elisio Oliveira

Aprendizado de máquina aplicado ao pós-processamento do relacionamento probabilístico de bases de dados de saúde / Marco Elisio Oliveira Jardim. – Rio de Janeiro, 2026.

87 f.: il.

Orientadora: Rejane Sobrino Pinheiro.

Tese (Doutorado em Saúde Coletiva) – Universidade Federal do Rio de Janeiro, Instituto de Estudos em Saúde Coletiva, Programa de Pós-Graduação em Saúde Coletiva, 2026.

1. *Linkage* probabilístico. 2. Aprendizado de máquina. 3. Desbalanceamento de classes. 4. Pós-processamento. 5. Tuberculose. 6. Mortalidade. 7. Vigilância em saúde. I. Pinheiro, Rejane Sobrino, orient. II. Universidade Federal do Rio de Janeiro, Instituto de Estudos em Saúde Coletiva, Programa de Pós-Graduação em Saúde Coletiva. III. Título.

Resumo

Aprendizado de Máquina Aplicado ao Pós-Processamento do Relacionamento Probabilístico de Bases de Dados de Saúde

Marco Elísio Oliveira Jardim

Orientadora: Rejane Sobrino Pinheiro

Resumo da Tese de Doutorado apresentada ao Programa de Pós-Graduação em Saúde Coletiva do Instituto de Estudos em Saúde Coletiva da Universidade Federal do Rio de Janeiro - UFRJ, como parte dos requisitos necessários à obtenção do título de Doutor em Ciências (Saúde Coletiva).

O *linkage* probabilístico de bases de dados, também denominado relacionamento probabilístico de registros (*record linkage*), constitui recurso essencial para a vigilância em saúde no Brasil, na medida em que possibilita a vinculação de registros individuais dispersos em diferentes sistemas de informação. A classificação dos pares candidatos resultantes desse processo, contudo, permanece dependente de limiares fixos aplicados sobre escores agregados de similaridade, o que acarreta perda expressiva de registros situados na zona de indecisão (área cinza). Essa lacuna é particularmente crítica quando a condição de saúde investigada apresenta elevada subnotificação, como é o caso da tuberculose enquanto condição marcadora de óbito.

Esta tese propôs e avaliou um *framework* (estrutura metodológica) configurável de pós-processamento, baseado em aprendizado de máquina (*machine learning*), para a classificação de pares produzidos pelo *linkage* probabilístico entre o Sistema de Informação sobre Mortalidade (SIM) e o Sistema de Informação de Agravos de Notificação para tuberculose (Sinan-TB) no município do Rio de Janeiro, no período de 2006 a 2016. A base experimental compreendeu 61.696 pares candidatos gerados pelo OpenRecLink e pontuados por um comparador de registros que produz 29 subescores de similaridade e um escore agregado, tendo como padrão-ouro 247 pares verdadeiros (razão $\approx 1:248$). Seis algoritmos foram comparados (Regressão Logística, Floresta Aleatória, XGBoost, LightGBM, SVM e Perceptron Multicamada), combinados com nove estratégias de balanceamento de

classes (SMOTE, Borderline-SMOTE, ADASYN, SMOTE-Tomek, ponderação de classes e variantes), totalizando 70 configurações avaliadas por estudo de ablação.

A Floresta Aleatória (*Random Forest*) com SMOTE e limiar de classificação de 0,5 alcançou $F_1=0,931$, ao passo que o limiar convencional ≥ 8 obteve $F_1=0,610$. A validação cruzada em cinco partições confirmou a estabilidade das abordagens híbridas, que combinam regras determinísticas e classificadores, com F_1 médio de $0,898\pm 0,025$ e menor variância que as abordagens puramente algorítmicas; a Floresta Aleatória com SMOTE obteve F_1 médio de $0,916\pm 0,026$. A análise de sensibilidade ao desbalanceamento de classes indicou que os classificadores mantiveram F_1 entre 0,880 e 0,918 nas nove estratégias avaliadas. A interpretação por meio de valores SHAP identificou o escore agregado, a quantidade de nomes iguais e o indicador de nome perfeito como os atributos de maior poder discriminatório; o nome da mãe predominou nas decisões relativas à área cinza. Do ponto de vista epidemiológico, a abordagem de máximo *recall* (sensibilidade) recuperou 24 óbitos por tuberculose adicionais (+55,8%) que teriam sido perdidos pelo limiar convencional, a um custo de aproximadamente 1,0 revisão manual por óbito detectado.

A tese disponibiliza dois *pipelines* (sequências operacionais) pré-configurados, um orientado à vigilância (máximo *recall*) e outro à confirmação (máxima precisão), articulados por uma fronteira de Pareto que permite ao gestor ou pesquisador calibrar o equilíbrio entre sensibilidade e especificidade conforme as necessidades do cenário de aplicação.

Palavras-chave: *Linkage* probabilístico. Aprendizado de máquina. Desbalanceamento de classes. Pós-processamento. Tuberculose. Mortalidade. Vigilância em saúde.

Abstract

Machine Learning Applied to Post-Processing of Probabilistic Record Linkage of Health Databases

Marco Elisio Oliveira Jardim

Advisor: Rejane Sobrino Pinheiro

Abstract da Tese de Doutorado apresentada ao Programa de Pós-Graduação em Saúde Coletiva do Instituto de Estudos em Saúde Coletiva da Universidade Federal do Rio de Janeiro - UFRJ, como parte dos requisitos necessários à obtenção do título de Doutor em Ciências (Saúde Coletiva).

Probabilistic record linkage constitutes an essential resource for health surveillance in Brazil, as it enables the connection of individual records dispersed across different information systems. Classification of the resulting candidate pairs, however, remains dependent on fixed thresholds applied to aggregate similarity scores, leading to substantial loss of records in the indecision zone (grey zone). This limitation is particularly critical when the health condition under investigation presents high underreporting, as is the case of tuberculosis as an underlying cause of death.

This thesis proposed and evaluated a configurable post-processing framework based on machine learning for classifying candidate pairs produced by probabilistic linkage between the Mortality Information System (SIM) and the Tuberculosis Notifiable Diseases Information System (Sinan-TB) in the city of Rio de Janeiro, covering the period from 2006 to 2016. The experimental dataset comprised 61,696 candidate pairs generated by OpenRecLink and scored by a record comparator that produces 29 similarity subscores and an aggregate score, with a gold standard of 247 true pairs (ratio $\approx 1:248$). Six algorithms were compared (Logistic Regression, Random Forest, XGBoost, LightGBM, SVM, and Multilayer Perceptron), combined with nine class-balancing strategies (SMOTE, Borderline-SMOTE, ADASYN, SMOTE-Tomek, class weighting, and variants), yielding 70 configurations evaluated through an ablation study.

Random Forest with SMOTE and a classification threshold of 0.5 achieved $F_1=0.931$, whereas the conventional threshold ≥ 8 yielded $F_1=0.610$. Five-fold cross-validation confirmed the stability of hybrid approaches, which combine deterministic rules and classifiers, with a mean F_1 of 0.898 ± 0.025 and lower variance than purely algorithmic approaches;

Random Forest with SMOTE achieved a mean F_1 of 0.916 ± 0.026 . Sensitivity analysis to class imbalance indicated that classifiers maintained F_1 between 0.880 and 0.918 across all nine strategies. SHAP-based interpretation identified the aggregate score, the number of matching names, and the exact-name indicator as the most discriminating features; mother's name predominated in grey-zone decisions. From an epidemiological standpoint, the maximum-recall approach recovered 24 additional tuberculosis deaths (+55.8%) that would have been missed by the conventional threshold, at a cost of approximately 1.0 manual reviews per detected death.

The thesis delivers two pre-configured pipelines, one geared towards surveillance (maximum recall) and another towards confirmation (maximum precision), articulated through a Pareto frontier that allows the health manager or researcher to calibrate the trade-off between sensitivity and specificity according to the requirements of the application scenario.

Keywords: Probabilistic record linkage. Machine learning. Class imbalance. Post-processing. Tuberculosis. Mortality. Health surveillance.

Agradecimentos

À minha orientadora, Professora Rejane Sobrino Pinheiro, agradeço pela confiança depositada neste trabalho, pela orientação rigorosa e generosa ao longo de todos estes anos e pelo exemplo de dedicação à pesquisa em saúde pública. Sua capacidade de acolher ideias e, ao mesmo tempo, exigir o melhor de cada análise foi determinante para que esta tese chegasse a bom termo.

À minha esposa, Joyce, companheira de todas as horas, agradeço pelo amor incondicional, pela paciência com as noites de estudo e pela serenidade que manteve nosso lar de pé nos momentos em que esta jornada pareceu longa demais. Sem o seu apoio, nada disto teria sido possível.

Aos meus filhos, José Antônio e Marco, agradeço por serem a razão mais concreta de seguir adiante. Cada sorriso de vocês renovou a energia necessária para mais uma página, mais um experimento, mais um dia de trabalho.

A todas as pessoas que, de forma direta ou indireta, contribuíram para esta caminhada — colegas de pesquisa, professores, amigos e familiares —, registro aqui minha gratidão sincera. Cada conversa, sugestão e palavra de incentivo deixou marca neste trabalho e em quem o escreveu.

Sumário

Sumário	viii
Lista de Figuras	xi
Lista de Tabelas	xii
Lista de Abreviaturas e Siglas	xiii
1 Introdução	1
1.1 Contextualização	1
1.2 Problema e lacuna	2
1.3 Proposta e estratégia	2
1.4 Organização da tese	3
2 Referencial Teórico	4
2.1 <i>Linkage</i> de bases de dados	4
2.2 Estratégias de classificação	5
2.3 Aprendizado de máquina aplicado ao <i>linkage</i>	6
2.4 Desbalanceamento de classes no <i>linkage</i>	7
2.5 Comparador de registros e ajuste de escores	8
3 Justificativa	9
3.1 Lacuna do conhecimento	9
3.2 Justificativas específicas	10
3.3 A tuberculose como condição marcadora	11
3.4 Urgência em contextos de crises sanitárias	12
3.5 Vinculação institucional	12
4 Objetivos	14
4.1 Objetivo geral	14
4.2 Objetivos específicos	14

5 Método	16
5.1 Desenho do estudo	16
5.2 Fontes de dados	16
5.3 Base de pares candidatos	17
5.4 Comparador de registros	18
5.5 Engenharia de atributos	19
5.6 Estratégias de análise	20
5.6.1 Análise comparativa de técnicas	21
5.6.2 Estratégia de maximização da sensibilidade	21
5.6.3 Estratégia de maximização da precisão	21
5.6.4 Análises complementares e validação de robustez	22
5.7 Métricas de avaliação	22
5.8 Ambiente computacional	23
6 Resultados	25
6.1 Base de dados e desbalanceamento	25
6.2 Faixas de escore do OpenRecLink e zona cinzenta	26
6.3 Engenharia de atributos e modelos avaliados	27
6.4 Análise comparativa de técnicas (NB01)	28
6.5 Estratégia de maximização da revocação (NB02)	29
6.6 Estratégia de maximização da precisão (NB03)	30
6.7 Estudo de ablação e fronteira de Pareto	30
6.8 Robustez, sensibilidade ao desbalanceamento e interpretabilidade	33
6.9 Síntese e recomendações operacionais	38
7 Discussão	40
7.1 Impacto epidemiológico e operacional	40
7.2 Dois <i>pipelines</i> e escolha de ponto operacional	41
7.3 Pensamento sistêmico e crises sanitárias	44
7.4 Episódios de cuidado e itinerário terapêutico	45
7.5 Painéis de monitoramento e inteligência de dados em saúde	46
7.6 Contribuição do <i>framework</i> em relação ao uso isolado de classificadores . .	47
7.7 Limitações e generalização	48
8 Conclusões	51
8.1 Síntese dos principais achados	51
8.2 Atendimento aos objetivos específicos	52
8.3 Contribuições	52
8.4 Trabalhos futuros	53

Listas de Figuras

6.1	Volume de pares candidatos e pares verdadeiros por faixa do escore agragado (escala logarítmica).	27
6.2	Proporção de pares verdadeiros em relação ao total de pares candidatos por faixa de escore, com destaque para a zona cinzenta (faixas 5 a 8).	28
6.3	Comparação de desempenho (precisão, revocação e F1) entre modelos no cenário NB01, com limiar de decisão padrão.	29
6.4	Melhor F1 por categoria de decisão no estudo de ablação.	32
6.5	Fronteira de Pareto para seleção de pontos operacionais (precisão e revocação) em combinações de limiares do classificador e das regras.	33
6.6	Distribuição do F1 por configuração na validação cruzada (<i>5-fold</i>).	34
6.7	Sensibilidade do desempenho (F1) do classificador a diferentes estratégias de reamostragem para desbalanceamento.	35
6.8	Resumo SHAP para a classe positiva, indicando a contribuição média (valor absoluto) de cada atributo para a predição.	37
6.9	Importância dos atributos por faixa de escore, com destaque para mudanças de relevância na zona cinzenta.	38
7.1	Pares verdadeiros detectados e perdidos por método de classificação.	42
7.2	Volume total de pares encaminhados para revisão manual por método.	42
7.3	Custo operacional: número de revisões manuais por par verdadeiro recuperado.	43

Listas de Tabelas

2.1	Comparação entre estratégias de <i>linkage</i> de bases de dados.	5
6.1	Distribuição dos pares candidatos por faixa de escore do OpenRecLink . . .	27
6.2	Melhor configuração por categoria de classificação — estudo de ablação. . .	31
6.3	Dez melhores configurações por F1 — estudo de ablação.	31
6.4	Fronteira de Pareto: pontos operacionais do classificador híbrido (RF+SMOTE). .	33
6.5	Validação cruzada estratificada (<i>5-fold</i>) das configurações selecionadas. . .	34
6.6	Sensibilidade ao desbalanceamento: Random Forest com diferentes estratégias de reamostragem (<i>5-fold CV</i>).	35
6.7	Importância dos atributos por valores SHAP (média do valor absoluto, classe positiva).	36
7.1	Comparação de métodos: óbitos detectados, custo operacional e taxa corrigida	41
7.2	Perfil dos óbitos recuperados pelo ML (não encontrados pelo limiar ≥ 8) .	41

Listas de Abreviaturas e Siglas

AUC-PR	<i>Area Under the Precision-Recall Curve</i> — área sob a curva precisão-sensibilidade
AUC-ROC	<i>Area Under the Receiver Operating Characteristic Curve</i> — área sob a curva ROC
CV	<i>Cross-Validation</i> — validação cruzada
GAL	Gerenciador de Ambiente Laboratorial
SIA-SUS	Sistema de Informações Ambulatoriais do SUS
SIH-SUS	Sistema de Informações Hospitalares do SUS
SIM	Sistema de Informações sobre Mortalidade
Sinan	Sistema de Informação de Agravos de Notificação
SITETB	Sistema de Informação de Tratamentos Especiais da Tuberculose
SMOTE	<i>Synthetic Minority Over-sampling Technique</i> — sobreamostragem sintética da classe minoritária
SUS	Sistema Único de Saúde

Capítulo 1

Introdução

1.1 Contextualização

A avaliação do desempenho de sistemas de saúde depende da capacidade de acompanhar o percurso de pacientes através de múltiplos sistemas de informação, desde a notificação de agravos até o desfecho clínico (DONABEDIAN, 1988; VIACAVA et al., 2012). No Brasil, os Sistemas de Informação em Saúde (SIS) foram concebidos para finalidades específicas e não dispõem de um identificador unívoco comum, o que impõe a necessidade de técnicas de vinculação de registros para integrar dados de diferentes fontes (JR; COELI, 2000). Bases como o Sistema de Informação sobre Mortalidade (SIM), o Sistema de Informação de Agravos de Notificação (Sinan), o Sistema de Informações Hospitalares (SIH-SUS) e o Sistema de Informações sobre Nascidos Vivos (Sinasc) registram eventos complementares sobre um mesmo indivíduo, porém sem mecanismo padronizado de interligação (CHRISTEN, 2012; BARRETO et al., 2019).

O *linkage* (vinculação de registros, do inglês *record linkage*) de bases de dados constitui etapa indispensável para a produção de indicadores de qualidade do cuidado, a identificação de subnotificação de agravos e a construção de trajetórias longitudinais de pacientes (FELLEGI; SUNTER, 1969; NEWCOMBE et al., 1959). No contexto da vigilância epidemiológica brasileira, o *linkage* probabilístico, operacionalizado por ferramentas como o OpenRecLink (JR; COELI, 2000), é amplamente empregado para vincular registros de diferentes sistemas com base na comparação de variáveis de identificação pessoal (nome, nome da mãe, data de nascimento, sexo e município de residência) (COELI; JR., 2002).

Não obstante a consolidação dessa abordagem, a qualidade dos dados vinculados permanece dependente de limiares de classificação definidos empiricamente e de procedimentos de revisão manual cuja reprodutibilidade é limitada (CHRISTEN, 2012). A superação dessas limitações constitui desafio relevante para a produção de informação oportuna e qualificada em saúde pública.

1.2 Problema e lacuna

No modelo de decisão proposto por Fellegi e Sunter (1969), dois limiares dividem o espaço de escores de similaridade em três regiões: pares aceitos, pares rejeitados e uma faixa intermediária denominada área cinza (*grey zone*). Os potenciais pares situados nessa região apresentam escores insuficientes para classificação automatizada e constituem o principal nó crítico do processo de vinculação (CHRISTEN, 2012). A resolução da área cinza é tradicionalmente realizada por revisão manual (*clerical review*), procedimento dispendioso, pouco escalável e sujeito à variabilidade intra e interavaliador (NASSEH; STAUSBERG, 2016).

A adoção de limiares fixos sobre escores agregados acarreta perda expressiva de pares verdadeiros, especialmente quando os campos de identificação apresentam erros de digitação, abreviações ou incompletude. Essa limitação é particularmente crítica no *linkage* entre o SIM e o Sinan para tuberculose (TB), condição marcadora (*tracer condition*) da qualidade do cuidado em saúde cujos indicadores de mortalidade evidenciam subnotificação significativa (OLIVEIRA et al., 2012; SOUSA; PINHEIRO, 2011; PINHEIRO; ANDRADE; OLIVEIRA, 2012). A perda de pares verdadeiros nesse cenário compromete a estimativa da magnitude de desfechos desfavoráveis e a avaliação da efetividade do programa de controle da tuberculose (ROCHA et al., 2015; World Health Organization, 2024).

Embora a aplicação de técnicas de aprendizado de máquina (*machine learning*) ao *linkage* venha sendo investigada em contextos internacionais (BINETTE; STEORTS, 2022; VO; LEE, 2019; JIAO et al., 2021; ALMADANI et al., 2026), a literatura brasileira sobre o tema é incipiente, restringindo-se predominantemente a abordagens determinísticas e probabilísticas tradicionais. Soma-se a isso a carência de investigações que avaliem sistematicamente o impacto de estratégias de balanceamento de classes e de ajustes nos pontos de corte do comparador sobre a acurácia do processo de vinculação em bases de saúde brasileiras (HE; GARCIA, 2009; HASSANI et al., 2025).

1.3 Proposta e estratégia

A estratégia adotada neste trabalho consiste no emprego de técnicas de aprendizado de máquina como camada de pós-processamento do *linkage* probabilístico. Os escores de similaridade produzidos por um comparador de registros probabilístico (LUCENA, 2013; JARDIM, 2024), a partir dos potenciais pares gerados pelo OpenRecLink (JR; COELI, 2000), bem como variáveis derivadas desses escores, são utilizados como atributos de entrada para classificadores supervisionados. A abordagem não substitui o processo probabilístico, mas o complementa, focalizando a resolução automatizada da área cinza e a reclassificação de pares situados nas regiões de incerteza do espaço de escores.

A arquitetura proposta organiza-se em três camadas: (i) o OpenRecLink, responsável pela blocagem e geração de potenciais pares; (ii) o comparador de registros (JARDIM, 2024; LUCENA, 2013), responsável pelo cálculo de 29 subescores de similaridade e um escore agregado para cada par candidato; e (iii) a camada de pós-processamento por aprendizado de máquina, que constitui a contribuição central desta tese. Essa separação de responsabilidades permite que cada componente evolua independentemente e facilita a reproduzibilidade do protocolo experimental.

Operacionalmente, o protocolo estrutura-se em seis etapas: (i) execução do *linkage* probabilístico mediante OpenRecLink, com múltiplos passos de blocagem (COELI; JR., 2002); (ii) cálculo dos escores de similaridade campo a campo pelo comparador de registros; (iii) engenharia de atributos, incluindo indicadores binários de concordância, escores ponderados e termos de interação; (iv) treinamento de classificadores supervisionados sobre o conjunto rotulado, com avaliação por validação cruzada estratificada; (v) aplicação dos classificadores treinados aos pares da área cinza, com possibilidade de priorização de sensibilidade (*recall*) ou precisão (*precision*), conforme o objetivo do estudo; e (vi) integração de regras de negócio baseadas no conhecimento do domínio. O *framework* (estrutura metodológica) resultante é configurável, disponibilizando dois *pipelines* (sequências operacionais) pré-definidos, um orientado à vigilância e outro à confirmação, articulados por uma fronteira de Pareto que permite ao gestor ou pesquisador calibrar o equilíbrio entre sensibilidade e especificidade conforme as necessidades do cenário de aplicação.

O protocolo foi desenhado para ser reproduzível e automatizável, executável em ambiente computacional padronizado (Python, *scikit-learn*, *Jupyter/Papermill*) e versionável em repositório Git, atendendo à necessidade de padronização identificada na literatura sobre *linkage* em saúde (CHRISTEN, 2012; ASHER et al., 2020; SCHNELL; WEIAND, 2023). A descrição detalhada de cada etapa encontra-se no Capítulo 5.

1.4 Organização da tese

A tese está organizada em oito capítulos. O Capítulo 2 apresenta o referencial teórico, abordando os fundamentos do *linkage* de bases de dados, as estratégias de classificação de pares, as técnicas de aprendizado de máquina empregadas e o problema do desbalanceamento de classes. A justificativa do estudo, com ênfase na tuberculose como condição marcadora e na urgência de protocolos automatizados, é desenvolvida no Capítulo 3, enquanto os objetivos geral e específicos são enunciados no Capítulo 4. No Capítulo 5, descreve-se o método, incluindo fontes de dados, engenharia de atributos, estratégias de análise e métricas de avaliação. Os resultados dos experimentos são apresentados no Capítulo 6, seguidos pela discussão dos achados, implicações epidemiológicas e limitações no Capítulo 7. Por fim, o Capítulo 8 sintetiza as contribuições e indica direções

para trabalhos futuros.

Capítulo 2

Referencial Teórico

2.1 *Linkage* de bases de dados

O *linkage* de bases de dados, também denominado relacionamento de registros (*record linkage*), consiste no processo de identificar, em duas ou mais bases de dados distintas, registros que se referem a uma mesma entidade, possibilitando a integração de informações provenientes de diferentes fontes para a produção de conhecimento em saúde (CHRISTEN, 2012). Originalmente proposto por Newcombe e colaboradores (1959) e formalizado por Fellegi e Sunter (1969), o método evoluiu consideravelmente, incorporando métricas de comparação de campos textuais (JARO, 1989; WINKLER, 1990), estratégias de blocagem para viabilizar o processamento de grandes volumes (COELI; JR., 2002) e, mais recentemente, abordagens baseadas em aprendizado de máquina para a classificação automatizada de potenciais pares (CHRISTEN, 2012; ENAMORADO; FIFIELD; IMAI, 2019a).

No campo da saúde pública, o *linkage* tem se mostrado particularmente relevante para a identificação de óbitos por tuberculose não notificados ao sistema de vigilância (SOUSA; PINHEIRO, 2011; OLIVEIRA et al., 2012), a análise de causas múltiplas de morte em coortes de pacientes (ROCHA et al., 2015) e a melhoria da qualidade dos dados registrados em sistemas nacionais (BARTHOLOMAY et al., 2014). A técnica constitui, portanto, ferramenta fundamental para a avaliação do desempenho de sistemas e serviços de saúde (VIACAVA et al., 2012).

No Brasil, o Sistema Único de Saúde (SUS) dispõe de um amplo conjunto de Sistemas de Informação em Saúde (SIS), cada qual concebido para finalidades distintas (PAIM et al., 2011; MACINKO; HARRIS, 2015). Entre os principais sistemas, destacam-se o SIM (mortalidade), o Sinan (agravos de notificação), o SIH-SUS (internações hospitalares), o SIA-SUS (procedimentos ambulatoriais), o Sinasc (nascidos vivos), o GAL (exames laboratoriais) e o SITETB (tuberculose drogarresistente). Uma característica fundamental dessas bases é a ausência de um identificador único que permita a vin-

culação inequívoca entre registros de diferentes sistemas (JR; COELI, 2000). Embora o Cartão Nacional de Saúde (CNS) tenha sido concebido com essa finalidade, sua cobertura permanece incompleta e sua qualidade de preenchimento é heterogênea, limitando sua utilidade como chave primária para o *linkage* direto (BARRETO et al., 2019). Essa lacuna impõe a necessidade de métodos indiretos de relacionamento, baseados na comparação de variáveis de identificação comuns (nome, nome da mãe, data de nascimento, sexo e município de residência), que estão sujeitos a erros de digitação, abreviações, homônimos e incompletude (CHRISTEN, 2012; SILVA, 2012).

2.2 Estratégias de classificação

Diferentes estratégias têm sido empregadas para a classificação de potenciais pares no *linkage*, podendo ser agrupadas em três abordagens principais. O *linkage* determinístico exige concordância exata (ou quase exata) em variáveis-chave, apresentando elevada especificidade, porém baixa sensibilidade na presença de imperfeições nos dados. O *linkage* probabilístico, fundamentado no modelo de Fellegi e Sunter (FELLEGI; SUNTER, 1969), atribui pesos diferenciados por variável e permite acomodar imperfeições, sendo amplamente empregado no contexto brasileiro por meio do OpenRecLink (JR; COELI, 2000). As abordagens baseadas em aprendizado de máquina capturam padrões não lineares de concordância e incorporam múltiplas variáveis simultaneamente, ao custo de maior dependência de conjuntos de treinamento rotulados (CHRISTEN, 2012). O Quadro 2.1 sintetiza as principais características de cada abordagem.

No modelo probabilístico, dois limiares dividem o espaço de escores em três regiões: acima do limiar superior, os pares são aceitos; abaixo do limiar inferior, são descartados; entre ambos, configura-se a área cinza (*grey zone*), composta por potenciais pares cujos escores não são suficientemente elevados para aceitação automática nem suficientemente baixos para rejeição (FELLEGI; SUNTER, 1969; CHRISTEN, 2012). A extensão dessa região depende da qualidade das variáveis de identificação e do poder discriminatório das métricas de comparação empregadas. A resolução tradicional por revisão manual (*clerical review*) é demorada, custosa, não escalável e sujeita à variabilidade entre avaliadores (NASSEH; STAUSBERG, 2016). Nesse contexto, a aplicação de classificadores supervisionados como etapa de pós-processamento constitui alternativa promissora, possibilitando a priorização de sensibilidade ou precisão conforme o objetivo do estudo (HAND; CHRISTEN, 2018).

2.3 Aprendizado de máquina aplicado ao *linkage*

Para a classificação de potenciais pares e a recuperação de pares verdadeiros da área cinza, diferentes técnicas de aprendizado de máquina supervisionado podem ser em-

Tabela 2.1: Comparação entre estratégias de *linkage* de bases de dados.

Estratégia	Vantagens	Limitações
Determinístico	Simplicidade conceitual e computacional; elevada especificidade dos pares identificados; resultados facilmente auditáveis	Baixa sensibilidade na presença de erros de grafia, campos incompletos ou variações ortográficas; incapacidade de acomodar imperfeições nos dados
Probabilístico	Flexibilidade para acomodar imperfeições nos dados; possibilidade de atribuir pesos diferenciados por variável; ampla utilização no contexto brasileiro (OpenRecLink)	Dependência da calibração de limiares; geração de área cinza que demanda revisão manual; sensibilidade à qualidade dos parâmetros m e u
Aprendizado de máquina	Captura de padrões não lineares; incorporação de múltiplas variáveis e interações; potencial de automatização da classificação	Necessidade de conjunto de treinamento rotulado; sensibilidade ao desbalanceamento de classes; menor interpretabilidade de alguns modelos

pregadas, selecionadas por suas propriedades complementares no tratamento de dados desbalanceados e na modelagem de padrões não lineares de similaridade entre campos de identificação (HASTIE; TIBSHIRANI; FRIEDMAN, 2009).

A **regressão logística** constitui modelo linear generalizado que estima a probabilidade de pertinência à classe positiva por meio de função logística aplicada a combinação linear das variáveis preditoras. Apesar de sua simplicidade, apresenta vantagens como modelo de referência (*baseline*): eficiência computacional, interpretabilidade e produção de probabilidades calibradas (HASTIE; TIBSHIRANI; FRIEDMAN, 2009).

O algoritmo de **Floresta Aleatória** (*Random Forest*), proposto por Breiman (2001), baseia-se na construção de um conjunto (*ensemble*) de árvores de decisão treinadas em amostras aleatórias dos dados, com seleção aleatória de subconjuntos de variáveis em cada nó. A predição final é obtida por votação majoritária. A técnica apresenta robustez ao sobreajuste (*overfitting*) e mecanismos intrínsecos para avaliação da importância de variáveis.

Na família de **Gradient Boosting**, modelos são construídos sequencialmente, de modo que cada um corrige os erros residuais dos anteriores (HASTIE; TIBSHIRANI; FRIEDMAN, 2009). Duas implementações foram consideradas: o **XGBoost** (*eXtreme Gradient Boosting*) (CHEN; GUESTRIN, 2016), com regularização L1/L2 e tratamento nativo de valores ausentes; e o **LightGBM** (*Light Gradient Boosting Machine*), com amostragem baseada em gradiente para redução do custo computacional.

Para a separação não linear de classes, a **Máquina de Vetores de Suporte**

(*Support Vector Machine, SVM*) busca o hiperplano ótimo que maximiza a margem entre as classes. Funções de núcleo (*kernel*), como o núcleo de base radial (*RBF*), projetam os dados em espaço de maior dimensão, viabilizando a separação de classes não linearmente separáveis no espaço original (HASTIE; TIBSHIRANI; FRIEDMAN, 2009).

Como representante de redes neurais artificiais, o **Perceptron Multicamadas** (*Multilayer Perceptron, MLP*) aprende representações hierárquicas dos dados por meio do algoritmo de retropropagação do erro. Sua flexibilidade arquitetural permite a modelagem de relações altamente não lineares, embora com maior sensibilidade à configuração de hiperparâmetros (HASTIE; TIBSHIRANI; FRIEDMAN, 2009).

Além desses classificadores individuais, foram empregadas técnicas de **combinacão de modelos** (*ensemble*), cuja eficácia para o *linkage* tem sido demonstrada na literatura (SARIYAR; BORG, 2012; VO; LEE, 2019). O *stacking* (empilhamento) treina um metaclassificador sobre as previsões de classificadores de base, enquanto a votação por consenso (*consensus voting*) exige concordância entre modelos independentes para classificação positiva. Complementarmente, regras de classificação baseadas em conhecimento de domínio podem ser combinadas com modelos de aprendizado de máquina em abordagens híbridas, integrando evidências estatísticas e conhecimento especializado (JIAO et al., 2021).

2.4 Desbalanceamento de classes no *linkage*

O desbalanceamento entre as classes de pares verdadeiros e não-pares constitui característica estrutural do *linkage*. A combinação de registros entre duas bases gera número de potenciais pares que cresce de forma quadrática com o tamanho das bases, enquanto o número de pares verdadeiros cresce linearmente. Mesmo após a aplicação de estratégias de blocagem, a proporção de pares verdadeiros permanece tipicamente muito pequena (CHRISTEN, 2012; HE; GARCIA, 2009). Algoritmos de classificação treinados em conjuntos desbalanceados tendem a apresentar viés em favor da classe majoritária, resultando em modelos que falham na identificação de pares verdadeiros (HASSANI et al., 2025).

Diferentes estratégias têm sido propostas para mitigar esse efeito. A sobreamostragem da classe minoritária, cujo representante mais empregado é o algoritmo SMOTE (*Synthetic Minority Over-sampling Technique*) (CHAWLA et al., 2002), gera exemplos sintéticos da classe sub-representada. Variações incluem o Borderline-SMOTE, que concentra a geração nas regiões de fronteira, e o ADASYN (*Adaptive Synthetic Sampling*), que adapta a densidade conforme a dificuldade de classificação. Técnicas combinadas, como o SMOTE-Tomek, integram sobreamostragem com remoção de exemplos ruidosos. A ponderação de classes (*class weights*) atribui pesos diferenciados na função de custo, penalizando erros sobre a classe minoritária sem alterar a composição do conjunto de treinamento. Métodos

de *ensemble*, como o *Balanced Random Forest*, incorporam estratégias de balanceamento em cada iteração (HE; GARCIA, 2009).

A escolha da estratégia adequada depende das características do problema e dos objetivos do estudo. No contexto do *linkage* em bases de saúde, a comparação sistemática de diferentes estratégias de balanceamento constitui questão ainda insuficientemente explorada, cujos resultados podem contribuir para a padronização de protocolos e a melhoria da acurácia do processo de vinculação.

2.5 Comparador de registros e ajuste de escores

Os escores de similaridade produzidos pelo comparador de registros (LUCENA, 2013; JARDIM, 2024), a partir dos potenciais pares gerados pelo OpenRecLink (JR; COELI, 2000), representam medida agregada do grau de concordância entre os campos de identificação de cada par candidato. A classificação final depende da definição de pontos de corte (*thresholds*) sobre esses escores, que delimitam as fronteiras entre pares aceitos, pares rejeitados e a área cinza (FELLEGI; SUNTER, 1969).

A definição de pontos de corte adequados é tarefa complexa. Pontos de corte excessivamente elevados resultam em alta especificidade, porém com perda de pares verdadeiros que apresentam escores intermediários, frequentemente aqueles com campos incompletos ou com erros de grafia. Pontos de corte excessivamente baixos incorporam falsos positivos, comprometendo a confiabilidade dos vínculos (CHRISTEN, 2012).

Neste trabalho, propõe-se a utilização de técnicas de aprendizado de máquina para a análise e otimização dos pontos de corte, empregando os escores de similaridade individuais (e não apenas o escore composto) como variáveis preditoras. Essa abordagem possibilita a identificação de padrões que indicam pares verdadeiros mesmo em regiões de escore intermediário. A otimização pode ser orientada por métricas como o F_1 -Score (HAND; CHRISTEN, 2018), a área sob a curva ROC (*AUC-ROC*) ou a área sob a curva precisão-sensibilidade (*AUC-PR*), sendo esta última particularmente adequada para cenários com desbalanceamento severo de classes. O capítulo seguinte contextualiza a relevância epidemiológica dessa abordagem, argumentando que a tuberculose constitui condição marcadora adequada para a validação de tais estratégias.

Capítulo 3

Justificativa

O *linkage* (vinculação de registros), conforme apresentado no Capítulo 1, constitui etapa indispensável para a integração de dados entre os múltiplos Sistemas de Informação em Saúde do Brasil (JR; COELI, 2000; CHRISTEN, 2012). A ausência de um identificador unívoco que perpassasse bases como o SIM, o Sinan e o SIH-SUS torna necessário o emprego de métodos probabilísticos baseados na comparação de variáveis de identificação pessoal (FELLEGI; SUNTER, 1969; JR; COELI, 2000), cujos resultados dependem diretamente da qualidade dos dados disponíveis e da adequação dos limiares de classificação adotados.

O *linkage* probabilístico, fundamentado no modelo de Fellegi e Sunter (FELLEGI; SUNTER, 1969), é amplamente empregado em estudos epidemiológicos brasileiros por meio de ferramentas como o OpenRecLink (JR; COELI, 2000) e estratégias de blocagem (COELI; JR., 2002). Persistem, contudo, desafios na classificação dos pares situados na “área cinza” do comparador (cf. Seção 2.2): essa faixa intermediária de escores demanda revisão manual (*clerical review*), procedimento dispendioso, pouco escalável e sujeito à variabilidade inter-avaliadores (CHRISTEN, 2012). A resolução automatizada da área cinza constitui, portanto, o nó crítico que motiva a presente investigação.

3.1 Lacuna do conhecimento

Embora a aplicação de técnicas de aprendizado de máquina (*machine learning*) ao *linkage* venha sendo investigada em contextos internacionais (CHRISTEN, 2012; BINETTE; STEORTS, 2022; VO; LEE, 2019), a literatura brasileira sobre o tema é incipiente, restringindo-se predominantemente a abordagens determinísticas e probabilísticas tradicionais. No cenário internacional, estudos de simulação em larga escala demonstraram que a escolha do método de vinculação pode introduzir viés sistemático nas estimativas populacionais (SCHNELL; WEIAND, 2023). Estudos nacionais que empreguem classificadores supervisionados como pós-processamento do *linkage* probabilístico, com vistas a automatizar a recuperação de pares na área cinza e a identificação de falsos positivos, são escassos. Soma-se a isso a carência de investigações que avaliem sistematicamente a eficiência e a eficiência das estratégias de blocagem.

camente o impacto de diferentes estratégias de balanceamento de classes e de ajustes nos pontos de corte do comparador sobre a acurácia do processo de vinculação, apontando para uma lacuna relevante no campo da produção de dados vinculados em saúde no Brasil.

A maioria dos estudos brasileiros emprega protocolos padronizados de *linkage* probabilístico cujos limiares são definidos empiricamente, sem análise sistemática da sensibilidade dos resultados a variações nesses parâmetros (JR; COELI, 2000; COELI; JR., 2002). A revisão manual da área cinza, quando realizada, configura etapa artesanal e não reproduzível, comprometendo a comparabilidade entre estudos (CHRISTEN, 2012). Essa limitação agrava-se em contextos de crises sanitárias, nos quais a produção de informação oportuna é requisito para a tomada de decisão.

Faz-se necessário, portanto, investigar abordagens que reduzam a dependência da revisão manual e ampliem a recuperação de pares verdadeiros na área cinza. Estudos recentes em outros contextos demonstraram que abordagens baseadas em *ensemble* de classificadores (VO; LEE, 2019) e métodos híbridos que combinam técnicas probabilísticas com aprendizado supervisionado (JIAO et al., 2021; ALMADANI et al., 2026) podem elevar substancialmente a acurácia da vinculação. Para fins de saúde pública, o valor dessas estratégias também se expressa na redução do custo de *clerical review* (CHRISTEN, 2012) e na possibilidade de mensurar o impacto epidemiológico da recuperação de pares verdadeiros em regiões de maior incerteza do escore.

3.2 Justificativas específicas

Algumas justificativas específicas fundamentam a relevância deste estudo:

- 1. Subnotificação da tuberculose e desfechos desfavoráveis.** A tuberculose (TB), reconhecida como condição marcadora da qualidade do cuidado em saúde (OLIVEIRA et al., 2012), permanece como problema de saúde pública de grande magnitude no Brasil, com taxas de cura abaixo do preconizado pela Organização Mundial da Saúde e proporção não negligenciável de desfechos desfavoráveis, incluindo óbito, abandono e resistência medicamentosa (World Health Organization, 2024; Brasil. Ministério da Saúde. Secretaria de Vigilância em Saúde e Ambiente, 2024). Estudos anteriores demonstraram que o *linkage* entre as bases do SIM e do Sinan-TB permite a identificação de óbitos por tuberculose não notificados ao sistema de vigilância, evidenciando subnotificação significativa (SOUSA; PINHEIRO, 2011; PINHEIRO; ANDRADE; OLIVEIRA, 2012; ROCHA et al., 2015). A melhoria na acurácia desse *linkage* tem potencial para ampliar a capacidade de detecção de casos e a qualificação da informação epidemiológica, com impacto direto sobre a análise de causas múltiplas de óbito em coortes de pacientes com TB (ROCHA et al., 2015).

2. **Intenso desbalanceamento de classes no *linkage* SIM–Sinan.** O *linkage* entre bases de mortalidade e de agravos de notificação gera um volume de pares candidatos no qual os pares verdadeiros constituem fração extremamente reduzida, frequentemente inferior a 1% do total de comparações (HE; GARCIA, 2009). Esse desbalanceamento representa nó crítico para classificadores supervisionados e requer estratégias específicas de tratamento, cuja efetividade comparativa no contexto do *record linkage* em saúde não se encontra adequadamente documentada na literatura brasileira, demandando investigação aprofundada. Hassani e colaboradores (2025) propuseram recentemente uma estratégia combinada de sobreamostragem e subamostragem especificamente desenhada para *linkage* de grande escala, evidenciando que o tratamento adequado do desbalanceamento pode elevar substancialmente o desempenho dos classificadores.
3. **Necessidade de protocolos reproduutíveis e automatizados.** A produção de dados vinculados para fins de vigilância epidemiológica e de pesquisa em serviços de saúde demanda agilidade e reproduzibilidade, especialmente em contextos de crises sanitárias nas quais a informação oportuna é requisito para a tomada de decisão no cuidado em saúde (VIACAVA et al., 2012). A automatização de etapas do processo de classificação, mediante algoritmos treinados e validados, pode contribuir para a construção de protocolos padronizados de *linkage* que reduzam a variabilidade e ampliem a escalabilidade do método. Nessa direção, diretrizes metodológicas internacionais já recomendam a integração de técnicas de aprendizado de máquina a dados vinculados para a estimativa de indicadores populacionais de saúde (HANEEF et al., 2022).
4. **Potencial de generalização para outros pares de bases de dados.** Embora o presente estudo tome como caso aplicado o *linkage* SIM–Sinan-TB, as abordagens metodológicas desenvolvidas, incluindo as estratégias de balanceamento, os ajustes nos pontos de corte e os modelos de classificação, possuem potencial de aplicação a outros cenários de vinculação de bases de saúde no Brasil, como SIH-SUS–Sinan, SIM–Sinasc, entre outros, ampliando o alcance das contribuições para a produção de indicadores de desempenho do sistema de saúde.
5. **Experiência institucional acumulada.** O Laboratório de Linkage e Análise de Dados Populacionais do Instituto de Estudo em Saúde Coletiva (IESC) da Universidade Federal do Rio de Janeiro (UFRJ) possui experiência de mais de 20 anos no *linkage* de bases de dados de saúde no Brasil (JR; COELI, 2000; COELI; JR., 2002; OLIVEIRA et al., 2016). Essa trajetória institucional fornece base sólida para o desenvolvimento e a validação de novas abordagens metodológicas, na medida em que dispõe de bases de dados previamente relacionadas, protocolos consolidados e equipe multidisciplinar com conhecimento tanto da área de saúde quanto de ciência

de dados, potencializando a produção de conhecimento novo e útil para o campo da saúde coletiva.

3.3 A tuberculose como condição marcadora

A escolha da tuberculose (TB) como condição de estudo neste trabalho fundamenta-se no conceito de condições traçadoras (*tracer conditions*), proposto por Kessner, Kalk e Singer (1973), segundo o qual determinadas condições de saúde podem funcionar como reveladoras do desempenho do sistema assistencial, desde que sejam inequivocamente identificáveis, possuam prevalência suficiente, tenham história natural modificável pela intervenção e disponham de técnicas de manejo bem estabelecidas. A TB atende a todos esses requisitos: é doença de notificação compulsória, registrada em múltiplos SIS (Sinan, SIM, SIH-SUS, GAL, SITETB), cujo tratamento é padronizado e disponibilizado integralmente pelo SUS (Brasil. Ministério da Saúde. Secretaria de Vigilância em Saúde, 2019). Essas propriedades permitem que o percurso do paciente com TB na rede de serviços seja rastreável por meio do *linkage*, revelando atrasos no diagnóstico, irregularidade no tratamento, abandono, internações evitáveis e óbitos que poderiam ter sido prevenidos (SOUSA; PINHEIRO, 2011; OLIVEIRA et al., 2012).

Estudos conduzidos pelo grupo de pesquisa do IESC/UFRJ demonstraram que o *linkage* entre o SIM e o Sinan-TB identificou óbitos por TB não notificados ao sistema de vigilância, evidenciando subnotificação expressiva (PINHEIRO; ANDRADE; OLIVEIRA, 2012; SOUSA; PINHEIRO, 2011; OLIVEIRA et al., 2012). Investigações subsequentes qualificaram variáveis do Sinan-TB por meio de regras de *scripting* aplicadas sobre dados vinculados (ROCHA et al., 2019) e analisaram as causas múltiplas de morte em coortes de pacientes notificados (ROCHA et al., 2015). A taxa de cura no Brasil permanece abaixo do preconizado pela Organização Mundial da Saúde, e os índices de abandono persistem elevados (Brasil. Ministério da Saúde. Secretaria de Vigilância em Saúde e Ambiente, 2024; World Health Organization, 2024), indicando que a TB continua a revelar fragilidades na organização do cuidado. A melhoria da acurácia do *linkage* entre essas bases tem, portanto, implicações diretas para a avaliação da efetividade do programa de controle da tuberculose.

3.4 Urgência em contextos de crises sanitárias

A necessidade de protocolos automatizados e reprodutíveis de *linkage* é acentuada em contextos de crises sanitárias. A pandemia de COVID-19 provocou sobrecarga nos serviços de saúde, com redução documentada no número de notificações de tuberculose, interrupção de tratamentos e aumento de desfechos desfavoráveis (RANZANI et al., 2021; MAIA et al., 2022). A queda na detecção de casos durante a pandemia não refletiu re-

dução na incidência da doença, mas a retração do acesso a diagnóstico e a desarticulação de rotinas de vigilância (HALLAL et al., 2020). Cenários semelhantes podem ocorrer em crises climáticas e epidêmicas futuras, reforçando a importância de dispor de métodos de *linkage* que possam ser executados de forma ágil e padronizada, sem depender exclusivamente de revisão manual.

3.5 Vinculação institucional

O presente trabalho insere-se no programa de pós-graduação do Instituto de Estudos em Saúde Coletiva (IESC) da Universidade Federal do Rio de Janeiro (UFRJ), no âmbito da linha de pesquisa em Ciência de Dados aplicada à Saúde. O IESC abriga o Laboratório de Linkage e Análise de Dados Populacionais, que desenvolve, há mais de duas décadas, metodologias de vinculação de bases de dados para a vigilância epidemiológica e a avaliação de serviços de saúde (JR; COELI, 2000; COELI; JR., 2002). O estudo conta ainda com a colaboração da Secretaria Acadêmica de Saúde, que articula atividades de ensino, pesquisa e extensão voltadas à qualificação dos dados em saúde e ao fortalecimento da capacidade analítica dos sistemas de informação do SUS. Essa vinculação institucional assegura o acesso a bases de dados previamente vinculadas, protocolos consolidados e expertise multidisciplinar necessários para o desenvolvimento e a validação das abordagens propostas. A partir da contextualização ora apresentada, o capítulo seguinte enuncia os objetivos geral e específicos que norteiam a investigação.

Capítulo 4

Objetivos

4.1 Objetivo geral

O presente estudo tem como objetivo geral desenvolver e avaliar um *framework* configurável de pós-processamento, baseado em aprendizado de máquina (*machine learning*), para a classificação de pares candidatos produzidos pelo *linkage* probabilístico entre bases de dados de saúde, com vistas a aumentar a acurácia do processo e recuperar registros da área cinza que permaneceriam não classificados ou incorretamente descartados pelo método probabilístico convencional. O *framework* proposto foi aplicado ao *linkage* entre o Sistema de Informação sobre Mortalidade (SIM) e o Sistema de Informação de Agravos de Notificação para tuberculose (Sinan-TB) no município do Rio de Janeiro, no período de 2006 a 2016, contribuindo para a qualificação dos dados vinculados e para a produção de indicadores de desempenho de sistemas e serviços de saúde.

4.2 Objetivos específicos

1. Comparar o desempenho de diferentes técnicas de aprendizado de máquina, a saber: regressão logística, Floresta Aleatória (*Random Forest*), *Gradient Boosting* (XG-Boost e LightGBM), Máquina de Vetores de Suporte (*Support Vector Machine*, *SVM*), redes neurais artificiais (*Multilayer Perceptron*, *MLP*) e métodos de combinação de modelos (*ensemble*: *Stacking* e votação por consenso), na tarefa de classificação de pares candidatos produzidos pelo *linkage* probabilístico entre o Sistema de Informação sobre Mortalidade (SIM) e o Sistema de Informação de Agravos de Notificação para tuberculose (Sinan-TB).
2. Avaliar e comparar estratégias de balanceamento de classes, incluindo *SMOTE* (CHAWLA et al., 2002), *Borderline-SMOTE*, *ADASYN*, *SMOTE-Tomek* e ponderação de classes (*class weights*), quanto ao seu efeito sobre a sensibilidade e a especificidade dos classificadores, considerando o severo desbalanceamento inerente

ao *linkage*, no que tange à identificação de combinações que possibilitem a melhoria da acurácia do processo de vinculação.

3. Desenvolver e avaliar protocolos de ajuste nos pontos de corte dos escores do comparador, empregando otimização de limiares (*threshold optimization*) e regras de negócio baseadas no conhecimento do domínio, de modo a maximizar a recuperação de pares verdadeiros na área cinza sem comprometer a proporção de falsos positivos, contribuindo para a qualificação dos dados vinculados e para a melhoria do desempenho do comparador probabilístico.
4. Comparar duas estratégias complementares de pós-processamento: uma orientada à maximização da sensibilidade (*recall*), voltada à identificação de subnotificação e à recuperação exaustiva de pares, e outra orientada à maximização da precisão (*precision*), voltada à construção de conjuntos analíticos de alta confiabilidade; avaliando as implicações de cada abordagem para diferentes finalidades de uso dos dados vinculados no âmbito da vigilância, da assistência e da gestão em saúde.
5. Sistematizar os resultados das comparações em quadros e tabelas que possibilitem a reprodução dos experimentos e a identificação das combinações de técnicas, parâmetros e estratégias de balanceamento mais adequadas a cada cenário de aplicação do *linkage* em saúde, com vistas à produção de protocolos reproduutíveis e à padronização de abordagens de pós-processamento.
6. Avaliar o potencial de generalização das abordagens desenvolvidas para outros cenários de *linkage* em saúde, discutindo as condições sob as quais os classificadores treinados e os protocolos propostos podem ser adaptados a diferentes pares de bases de dados e a distintos contextos epidemiológicos.

O capítulo seguinte descreve o percurso metodológico adotado para a consecução desses objetivos.

Capítulo 5

Método

5.1 Desenho do estudo

Trata-se de um estudo metodológico de desenvolvimento e avaliação de algoritmos de aprendizado de máquina (*machine learning*) aplicados ao pós-processamento do *linkage* probabilístico entre bases de dados de saúde. O estudo utiliza dados secundários provenientes de sistemas nacionais de informação em saúde, vinculados por meio de técnicas probabilísticas, e propõe protocolos computacionais para a melhoria da acurácia na classificação de pares candidatos, com vistas à qualificação dos dados vinculados e à produção de indicadores para a vigilância epidemiológica.

5.2 Fontes de dados

Foram utilizados registros provenientes de duas bases de dados nacionais de saúde:

- **Sistema de Informação sobre Mortalidade (SIM):** base de dados que registra todos os óbitos ocorridos no território nacional, a partir das Declarações de Óbito (DO), contendo variáveis demográficas (nome, data de nascimento, nome da mãe, sexo), geográficas (município de residência, endereço) e relativas à causa do óbito codificada pela Classificação Internacional de Doenças (CID-10) (PAIM et al., 2011).
- **Sistema de Informação de Agravos de Notificação, Tuberculose (Sinan-TB):** base que registra os casos de tuberculose notificados compulsoriamente no Brasil, contendo variáveis de identificação do paciente, dados clínicos, laboratoriais e de acompanhamento do tratamento, incluindo a situação de encerramento do caso (OLIVEIRA et al., 2012; SANTOS; COELI et al., 2018).

Os registros correspondem ao município do Rio de Janeiro e foram previamente submetidos a *linkage* probabilístico por meio do programa OpenRecLink (JR; COELI, 2000), gerando uma base de pares candidatos que constitui o objeto de análise do presente

estudo. A escolha dessas bases justifica-se pelas razões detalhadas na Seção 3.2, em particular a relevância da tuberculose como condição marcadora da qualidade do cuidado em saúde e a experiência acumulada do grupo de pesquisa no *linkage* dessas fontes de dados (OLIVEIRA et al., 2012; BARTHOLOMAY et al., 2014; OLIVEIRA et al., 2016).

5.3 Base de pares candidatos

A base de pares candidatos utilizada contém registros classificados pelo OpenRecLink a partir de múltiplos passos de blocagem (*blocking steps*), conforme recomendado na literatura para maximizar a sensibilidade do processo (COELI; JR., 2002). Cada par candidato é representado por um conjunto de escores de similaridade calculados para as variáveis de identificação disponíveis em ambas as bases:

- Escores de similaridade para o **nome** do indivíduo (fragmentos e variações)
- Escores de similaridade para o **nome da mãe**
- Escore de concordância para a **data de nascimento**
- Escore de concordância para o **município de residência**
- Escores de similaridade para o **endereço**
- **Escore final composto** (*nota final*) calculado pelo comparador de registros
- **Passo de blocagem** em que o par foi identificado

Cada par possui uma classificação de referência (padrão-ouro) atribuída por revisão manual, categorizada em: par verdadeiro confirmado, par verdadeiro provável e não-par. Para fins de modelagem, os pares verdadeiros confirmados e prováveis foram agrupados em uma única classe positiva, resultando em uma variável-alvo binária. A disponibilidade dessa classificação de referência possibilita o treinamento e a avaliação dos classificadores supervisionados, na medida em que fornece as observações rotuladas necessárias para o aprendizado.

O padrão-ouro (*gold standard*) foi construído por meio de revisão clerical (*clerical review*) conduzida por dois revisores independentes, vinculados ao Instituto de Estudos em Saúde Coletiva da Universidade Federal do Rio de Janeiro (IESC-UFRJ). O procedimento consistiu na consulta manual aos sistemas de origem (SIM e Sinan-TB) para cada par candidato, com avaliação independente do status de par verdadeiro ou não-par, com base na concordância das variáveis de identificação e em evidências complementares disponíveis nos registros originais. Os casos de discordância entre os revisores foram resolvidos por consenso, após discussão conjunta dos elementos de identificação. Esse procedimento de

revisão independente seguido de consenso constitui prática estabelecida em estudos de *linkage* no contexto brasileiro (COELI et al., 2021).

Reconhece-se que a ausência de cálculo formal de concordância inter-avaliadores (coeficiente kappa) constitui limitação do padrão-ouro utilizado, na medida em que impede a quantificação da reproduzibilidade do processo de rotulagem. Adicionalmente, a avaliação subjetiva de pares na zona cinzenta pode introduzir viés individual, especialmente quando os campos de identificação apresentam concordância parcial. Outra limitação potencial refere-se a falsos negativos decorrentes de falhas na etapa de blocagem do OpenRecLink: pares verdadeiros que não compartilham nenhuma das chaves de blocagem utilizadas não são incluídos no conjunto de candidatos e, portanto, não podem ser avaliados pelos revisores nem recuperados pelo pós-processamento. Essas limitações devem ser consideradas na interpretação das métricas de desempenho, particularmente da sensibilidade, que pode estar sobreestimada em relação ao universo real de pares verdadeiros existentes nas bases de origem.

A base apresenta severo desbalanceamento de classes, com proporção aproximada de 1 par verdadeiro para cada 250 não-pares (cerca de 0,4% de registros positivos), característica inerente ao *linkage* em que o número de combinações candidatas cresce de forma quadrática enquanto os pares verdadeiros crescem linearmente (CHRISTEN, 2012; HE; GARCIA, 2009). Esse desbalanceamento constitui nó crítico para a aplicação de classificadores supervisionados, demandando estratégias específicas de tratamento.

5.4 Comparador de registros

Os escores de similaridade utilizados como insumo para o pós-processamento não foram calculados pelo OpenRecLink, mas por um comparador de registros probabilístico independente, desenvolvido especificamente para este estudo. A ferramenta constitui uma reimplementação em Python do algoritmo proposto por Lucena (2013) em dissertação de mestrado apresentada ao Instituto de Estudos em Saúde Coletiva da UFRJ, cujo protótipo original em Java foi desenvolvido por Peçanha (2015) no mesmo grupo de pesquisa. A versão utilizada neste trabalho encontra-se publicada em repositório de código aberto, sob licença GPL-3.0 (JARDIM, 2024).

O comparador recebe como entrada os pares candidatos gerados pelo OpenRecLink após a etapa de blocagem e executa a comparação campo a campo entre os registros de cada par, produzindo 29 subescores de similaridade e um escore final agregado (*nota final*). As comparações implementadas abrangem seis categorias:

- **Nome próprio e nome da mãe:** normalização textual (remoção de acentos, preposições, sufixos), codificação fonética por algoritmo *Soundex* (CHRISTEN, 2012), distância de edição de Levenshtein, e ponderação por tabelas de frequência posi-

cional que diferenciam nomes raros (mais informativos) de nomes comuns (menos discriminatórios) (WINKLER, 1990);

- **Data de nascimento:** comparação por componentes (dia, mês, ano), com pontuação diferenciada para concordância exata, concordância parcial (transposição de dia/mês) e discordância;
- **Texto livre (endereço):** normalização, tokenização e cálculo de similaridade por coeficiente de Jaccard sobre conjuntos de termos;
- **Município de residência:** comparação exata do código IBGE, com pontuação binária;
- **Campos numéricos:** comparação direta de valores, incluindo número do logradouro e complemento.

A cada par candidato, o comparador atribui subscores para cada campo comparado e calcula o escore final como combinação ponderada dessas comparações. Os pesos e limiares do algoritmo original foram definidos por Lucena (2013) com base em 20 critérios de comparação e um limiar fixo de corte (escore $\geq 4,33$). A versão empregada neste trabalho estende o conjunto de critérios com a inclusão de comparadores de endereço e município, totalizando as 29 variáveis de saída, e substitui o limiar fixo por uma camada de pós-processamento baseada em aprendizado de máquina, que explora a informação contida nos subscores individuais (e não apenas no escore agregado) para classificar pares na zona cinzenta, conforme detalhado nas seções seguintes.

Cabe distinguir, portanto, três camadas do processo de vinculação: (i) o Open-RecLink (JR; COELI, 2000), responsável pela blocagem e geração de pares candidatos; (ii) o comparador de registros (JARDIM, 2024; LUCENA, 2013), responsável pelo cálculo dos escores de similaridade campo a campo; e (iii) a camada de pós-processamento por aprendizado de máquina, que constitui a contribuição central desta tese. Essa separação de responsabilidades permite que cada componente evolua independentemente e facilita a reproduzibilidade do protocolo experimental.

5.5 Engenharia de atributos

A partir dos escores brutos de similaridade fornecidos pelo comparador de registros (JARDIM, 2024), procedeu-se à derivação de atributos adicionais (*features*) com o objetivo de enriquecer a representação de cada par candidato e possibilitar a captura de padrões não lineares de concordância entre registros. As estratégias de engenharia de atributos incluíram:

- **Indicadores binários de concordância:** variáveis dicotômicas indicando se o escore de similaridade de cada campo ultrapassa limiares predefinidos (concordância “perfeita” e concordância “alta”), com limiares ajustados de acordo com a estratégia de análise empregada, mais permissivos para a estratégia de máximo *recall* e mais restritivos para a estratégia de máxima precisão.
- **Escores agregados e ponderados:** combinações lineares dos escores individuais, atribuindo pesos diferenciados conforme o poder discriminatório de cada variável: maior peso para nome e data de nascimento, peso intermediário para nome da mãe e município, menor peso para endereço.
- **Termos de interação:** produtos entre escores de campos distintos, possibilitando a captura da concordância simultânea de múltiplas variáveis (por exemplo, nome × data de nascimento × nome da mãe), cujo valor conjunto pode ser mais informativo do que os escores individuais isoladamente.
- **Indicador de óbito por tuberculose:** variável derivada da situação de encerramento do caso no Sinan-TB, sinalizando registros cuja causa de encerramento indica óbito por tuberculose ou óbito por outras causas, incorporando conhecimento de domínio relevante para a priorização de pares.

5.6 Estratégias de análise

O estudo foi estruturado em três etapas analíticas complementares, cada uma orientada por um objetivo distinto, a saber: comparação ampla de classificadores, maximização da sensibilidade e maximização da precisão, configurando protocolos experimentais que exploram diferentes compromissos entre falsos positivos e falsos negativos na classificação de pares, conforme a estratégia delineada na Seção 1.3.

A seleção dos classificadores empregados neste estudo foi orientada por dois critérios: (i) a representatividade de diferentes famílias de modelos, de modo a cobrir abordagens lineares (regressão logística), baseadas em árvores (Floresta Aleatória, *Gradient Boosting*), baseadas em margens (SVM) e redes neurais (MLP), possibilitando a comparação entre paradigmas de aprendizado distintos; e (ii) a evidência prévia de bom desempenho em problemas com desbalanceamento severo de classes e em aplicações de *linkage* documentadas na literatura (CHRISTEN, 2012; HASTIE; TIBSHIRANI; FRIEDMAN, 2009; SARIYAR; BORG, 2012). A regressão logística foi incluída como modelo de referência (*baseline*), por sua interpretabilidade e ampla utilização na área de saúde.

Cabe distinguir dois componentes do *pipeline* experimental: os *métodos padrão*, que compreendem o *linkage* probabilístico realizado pelo OpenRecLink (JR; COELI, 2000) com parâmetros e limiares convencionais, representando a prática corrente no contexto

brasileiro; e os *métodos propostos*, que compreendem a camada de pós-processamento por aprendizado de máquina, incluindo as estratégias de balanceamento, a engenharia de atributos e as regras de negócio desenvolvidas neste trabalho. Essa distinção permite avaliar o ganho incremental proporcionado pelos métodos propostos em relação ao processo probabilístico convencional.

5.6.1 Análise comparativa de técnicas

Na primeira etapa, procedeu-se à comparação ampla de diferentes classificadores de aprendizado de máquina aplicados à tarefa de classificação de pares. Foram avaliados: regressão logística, Floresta Aleatória (*Random Forest*), *Gradient Boosting*, Máquina de Vetores de Suporte (*SVM*) com núcleo de base radial (*Radial Basis Function, RBF*), rede neural *Multilayer Perceptron* (*MLP*), Floresta Aleatória com *SMOTE* e combinação por empilhamento (*Stacking Ensemble*). Para cada classificador, foram calculadas métricas de desempenho em conjunto de teste (partição *hold-out* estratificada) e, adicionalmente, por validação cruzada estratificada para avaliação de estabilidade, incluindo precisão, sensibilidade, F_1 -Score, AUC-ROC e AUC-PR (HASTIE; TIBSHIRANI; FRIEDMAN, 2009; HAND; CHRISTEN, 2018). Adicionalmente, foram geradas curvas de otimização de limiares e análises de importância de atributos, possibilitando a identificação das variáveis de maior poder discriminatório para a classificação de pares.

5.6.2 Estratégia de maximização da sensibilidade

Na segunda etapa, o foco recaiu sobre a maximização da sensibilidade (*recall*), buscando recuperar o maior número possível de pares verdadeiros, particularmente aqueles situados na área cinza do comparador. Para tanto, foram empregadas técnicas de balanceamento de classes (*SMOTE* (CHAWLA et al., 2002), *Borderline-SMOTE*, *ADASYN* e *SMOTE-Tomek*), seguindo a lógica de combinação de sobreamostragem e subamostragem proposta por Hassani e colaboradores (2025), combinadas com classificadores configurados para minimizar falsos negativos: Floresta Aleatória com pesos de classe, *AdaBoost* com sobreamostragem, *MLP* com *SMOTE* em proporção 1:1, votação suave (*Soft Voting Ensemble*) e classificador em cascata (*Cascade Classifier*) de dois estágios. Os limiares de classificação foram ajustados para valores baixos (entre 0,10 e 0,30), priorizando sensibilidade sobre precisão. Esta abordagem é particularmente relevante para estudos de subnotificação, nos quais a não identificação de um par verdadeiro pode resultar em subestimação da magnitude de desfechos desfavoráveis, comprometendo potencialmente a avaliação do desempenho do sistema de saúde e a identificação de nós críticos no itinerário terapêutico do paciente (OLIVEIRA et al., 2012; SOUSA; PINHEIRO, 2011).

5.6.3 Estratégia de maximização da precisão

Na terceira etapa, o foco direcionou-se à maximização da precisão (*precision*), buscando identificar apenas os pares de alta confiabilidade e minimizar falsos positivos. Foram empregados classificadores com forte regularização (XGBoost (CHEN; GUESTRIN, 2016) e LightGBM (KE et al., 2017)), Floresta Aleatória calibrada por regressão isotônica, combinação por empilhamento (*Stacking*) com meta-aprendiz de regressão logística, e votação por consenso (unanimidade). Complementarmente, foram desenvolvidas regras de negócio baseadas no conhecimento do domínio, atribuindo pontuação a critérios como qualidade do nome, concordância exata de data de nascimento, similaridade do nome da mãe, concordância de município e endereço, e escore do comparador. Uma abordagem híbrida combinando classificadores de aprendizado de máquina com regras de negócio foi também avaliada. Os limiares foram ajustados para valores elevados (entre 0,60 e 0,90), priorizando a precisão. Esta estratégia é adequada para a construção de conjuntos analíticos de alta confiabilidade, nos quais a inclusão de falsos positivos poderia introduzir viés nas estimativas de associação, sendo, portanto, promissora para estudos que requeiram elevada qualificação dos dados vinculados. Cabe notar que, conforme argumentado por Hand e colaboradores (2018), o F₁-Score pode não refletir adequadamente o desempenho do classificador nesse cenário, recomendando-se a utilização complementar de métricas como AUC-PR.

5.6.4 Análises complementares e validação de robustez

Além das três estratégias centrais, foram conduzidas análises complementares com o objetivo de (i) explicitar o comportamento do classificador em diferentes regiões de incerteza do comparador, (ii) formalizar a escolha de ponto operacional por meio de ablação e otimização conjunta de limiares, e (iii) avaliar a robustez e a interpretabilidade dos modelos. Em particular, o desempenho foi estratificado por faixas do escore final (*nota final*) do comparador de registros, caracterizando uma zona cinzenta de pares candidatos em que os métodos baseados apenas em limiar apresentam maior incerteza. Foi também realizado estudo de ablação para comparar configurações *rules-only*, *ML-only*, combinações híbridas (lógicas AND/OR), cascatas e consenso entre modelos, incluindo a exploração de grades de limiares e a identificação de pontos de Pareto (precisão × sensibilidade) para apoiar a recomendação de protocolos por contexto de uso.

Para avaliar estabilidade, as principais configurações foram submetidas à validação cruzada estratificada (*5-fold*), e foi conduzida análise de sensibilidade às estratégias de balanceamento de classes. Por fim, foram produzidas análises de interpretabilidade, combinando importância de atributos derivada de modelos baseados em árvores e valores SHAP (*Shapley Additive Explanations*) (LUNDBERG; LEE, 2017), incluindo a comparação da relevância dos atributos na zona cinzenta.

5.7 Métricas de avaliação

O desempenho dos classificadores foi avaliado por meio das seguintes métricas, reconhecidas na literatura de *linkage* e de aprendizado de máquina (HAND; CHRISTEN, 2018; HASTIE; TIBSHIRANI; FRIEDMAN, 2009):

- **Precisão** (*Precision*): proporção de pares classificados como verdadeiros que são efetivamente pares verdadeiros.
- **Sensibilidade** (*Recall*): proporção de pares verdadeiros corretamente identificados dentre todos os pares verdadeiros existentes.
- **F₁-Score**: média harmônica entre precisão e sensibilidade, sintetizando o equilíbrio entre ambas.
- **AUC-ROC**: área sob a curva *Receiver Operating Characteristic*, que avalia a capacidade discriminatória do classificador em diferentes limiares de classificação.
- **AUC-PR**: área sob a curva Precisão-Sensibilidade (*Precision-Recall*), métrica particularmente informativa em cenários de desbalanceamento severo de classes, na medida em que é menos influenciada pela grande quantidade de verdadeiros negativos (HE; GARCIA, 2009).

A avaliação principal foi realizada em uma partição *hold-out* estratificada (70% para treinamento e 30% para teste), preservando a proporção de classes, e os resultados foram apresentados em quadros comparativos que possibilitam a identificação das combinações de técnica, estratégia de balanceamento e limiar mais adequadas a cada cenário de uso. Em complemento, para as configurações principais, foram realizadas validações cruzadas estratificadas (*k-fold*) para estimar a variabilidade das métricas e avaliar a estabilidade do desempenho em diferentes partições dos dados, com vistas à padronização de protocolos de pós-processamento para o *linkage* em saúde.

5.8 Ambiente computacional

Todos os experimentos foram implementados na linguagem Python (versão 3.12.4), utilizando as bibliotecas *scikit-learn* para os classificadores de aprendizado de máquina e métricas de avaliação, *imbalanced-learn* para as técnicas de balanceamento de classes, *XG-Boost* e *LightGBM* para os algoritmos de *Gradient Boosting*, e *pandas* e *NumPy* para manipulação e transformação de dados. As análises foram estruturadas em cadernos Jupyter (*Jupyter Notebooks*) e scripts auxiliares, executados de forma reproduzível por meio do framework *Papermill*, e versionados em repositório Git, assegurando rastreabilidade das etapas do processo analítico, em consonância com diretrizes metodológicas internacionais

para a utilização de dados vinculados e técnicas de aprendizado de máquina na estimação de indicadores de saúde (HANEEF et al., 2022).

A opção por modelos baseados em árvore (*tree-based models*), tais como Floresta Aleatória, XGBoost e LightGBM, em detrimento de arquiteturas de aprendizado profundo (*deep learning*), decorreu de duas premissas metodológicas. Primeiro, o volume limitado de pares verdadeiros disponíveis para treinamento (247 pares positivos, dos quais aproximadamente 74 compõem o conjunto de teste) desfavorece arquiteturas profundas, como redes recorrentes (LSTM) e *Transformers*, que demandam ordens de grandeza superiores de exemplos rotulados para convergir adequadamente e evitar sobreajuste (HASTIE; TIBSHIRANI; FRIEDMAN, 2009). A literatura recente sobre dados tabulares com menos de 10.000 amostras indica que modelos baseados em árvore de decisão com *gradient boosting* tendem a igualar ou superar redes neurais profundas nesse regime de dados, particularmente quando o número de atributos é moderado e as relações entre variáveis são predominantemente de interação entre campos discretos ou semicontínuos. Segundo, a interpretabilidade das decisões constitui requisito do contexto de vigilância em saúde: a análise de valores SHAP (*Shapley Additive Explanations*) (LUNDBERG; LEE, 2017) aplicada a modelos arbóreos permite identificar, para cada par candidato, quais campos de identificação contribuíram para a classificação, possibilitando a auditoria das decisões automatizadas por profissionais de saúde. Modelos de aprendizado profundo, embora dotados de capacidade representacional superior, operam como aproximadores opacos cujas decisões são de difícil explcação em termos dos atributos de entrada, limitação relevante quando o resultado do *linkage* fundamenta ações de vigilância epidemiológica e investigação de óbito.

Capítulo 6

Resultados

Este capítulo expõe os resultados do pós-processamento por aprendizado de máquina (*machine learning*) aplicado aos pares candidatos gerados pelo *linkage* probabilístico entre o Sistema de Informações sobre Mortalidade (SIM) e o Sistema de Informação de Agravos de Notificação para tuberculose (Sinan-TB). A estrutura segue a lógica do *framework* proposto: inicialmente, caracteriza-se o desbalanceamento da base e a distribuição de escores que delimita a zona cinzenta; em seguida, reportam-se os cenários experimentais (análise comparativa, estratégia de revocação e estratégia de precisão); por fim, consolidam-se as análises de ablação, robustez por validação cruzada, sensibilidade ao tratamento do desbalanceamento e interpretabilidade via SHAP (*SHapley Additive exPlanations*). Os detalhes metodológicos, incluindo fontes de dados, engenharia de atributos, métricas e ambiente computacional, encontram-se no Capítulo 5.

6.1 Base de dados e desbalanceamento

A base analisada compreendeu 61.696 pares candidatos extraídos do arquivo **COMPARADORSEMIDENT.csv**, dos quais 247 foram classificados como pares verdadeiros (*true matches*) após conferência manual, resultando em uma razão de desbalanceamento de aproximadamente 1:248 (CHRISTEN, 2012). Esse grau de desbalanceamento não é atípico: estudos de *linkage* em bases de saúde pública frequentemente reportam prevalências de pares verdadeiros inferiores a 1%, especialmente quando a etapa de blocagem é permissiva para maximizar a cobertura do padrão-ouro (*gold standard*) (HARRON et al., 2017; DOIDGE; HARRON, 2019). A consequência direta é que classificadores treinados sem tratamento do desbalanceamento tendem a otimizar a acurácia global, classificando quase todos os pares como negativos, acarretando revocação próxima de zero para a classe de interesse (HE; GARCIA, 2009; JOHNSON; KHOSHGOFTAAR, 2019).

Tal cenário impõe duas restrições operacionais concretas. Em primeiro lugar, mesmo uma taxa de falsos positivos aparentemente baixa (por exemplo, 0,5%) pode gerar centenas de revisões manuais desnecessárias quando aplicada a um universo de dezenas de

milhares de pares, elevando o custo de revisão manual a patamares incompatíveis com a prática rotineira da vigilância epidemiológica (COELI et al., 2021). Em segundo lugar, a avaliação do modelo não pode se restringir à acurácia: métricas como precisão, revocação e F_1 constituem indicadores mais adequados para quantificar o desempenho em cenários raros (CHRISTEN, 2012; HE; GARCIA, 2009). Os experimentos baseados em participação fixa (*hold-out*) utilizaram divisão estratificada 70/30 (173 pares verdadeiros para treino e 74 para teste), preservando a proporção original de classes. As métricas reportadas seguem a definição apresentada na Seção 5.7, com ênfase em precisão, revocação e F_1 .

6.2 Faixas de escore do OpenRecLink e zona cinzenta

Para cada par candidato gerado pelo OpenRecLink, o comparador de registros (LUCENA, 2013; JARDIM, 2024) produz um conjunto de 29 subescores de similaridade por atributo e um escore agregado final (*nota_final*) que sintetiza a evidência de pareamento (ver Seção 5.4). Na prática, a abordagem mais simples (aqui denominada “ingênuia”) consiste em aceitar como pares verdadeiros todos os registros cujo escore agregado supere um limiar fixo. Para avaliar os limites intrínsecos dessa estratégia, analisou-se a distribuição dos pares verdadeiros por faixas de escore.

A Tabela 6.1 e as Figuras 6.1 e 6.2 revelam um padrão de dispersão bimodal. Nas faixas superiores (9 a 10 e acima de 10), a concentração de pares verdadeiros é quase total: 97,7% e 98,0% dos registros nessas faixas constituem pareamentos corretos, correspondendo a 93 dos 247 pares verdadeiros (37,7%). Esses pares possuem concordância elevada em múltiplos atributos e são triviais para qualquer método de classificação. A região intermediária (faixas de 5 a 8), aqui denominada zona cinzenta (*grey zone*), concentra cerca de 47% dos pares verdadeiros (117 de 247) diluídos em um volume de mais de 21 mil pares candidatos, onde a proporção de verdadeiros varia de 0,12% (faixa 5 a 6) a 3,98% (faixa 7 a 8). Essa assimetria entre volume e prevalência explica por que limiares ingênuos enfrentam um dilema insolúvel nessa região: reduzir o limiar para capturar mais pares verdadeiros implica aceitar um aumento exponencial no número de falsos positivos, enquanto elevá-lo implica descartar quase metade dos pareamentos reais (DUVALL; KERBER; THOMAS, 2010; DOIDGE; HARRON, 2018).

Esse resultado é consistente com a literatura sobre *linkage* probabilístico de bases de mortalidade e vigilância no Brasil, em que divergências de grafia em nomes, abreviações e inconsistências em campos secundários (endereço, município) reduzem o escore agregado de pares genuínos sem eliminá-los completamente (PAIXÃO et al., 2017; COELI et al., 2021). A existência de uma zona cinzenta com quase metade dos pares verdadeiros constitui a principal justificativa empírica para a aplicação de modelos de aprendizado de máquina, que podem explorar padrões multivariados nos subescores de similaridade para discriminar pares nessa região, possibilitando ganhos de revocação sem degradação

proporcional da precisão (ENAMORADO; FIFIELD; IMAI, 2019b).

Tabela 6.1: Distribuição dos pares candidatos por faixa de escore do OpenRecLink

Faixa de escore	Total	Pares	% Pares
0-3	5,336	0	0.00%
3-5	34,645	3	0.01%
5-6	14,263	17	0.12%
6-7	6,175	57	0.92%
7-8	1,080	43	3.98%
8-9	102	34	33.33%
9-10	44	43	97.73%
10+	51	50	98.04%

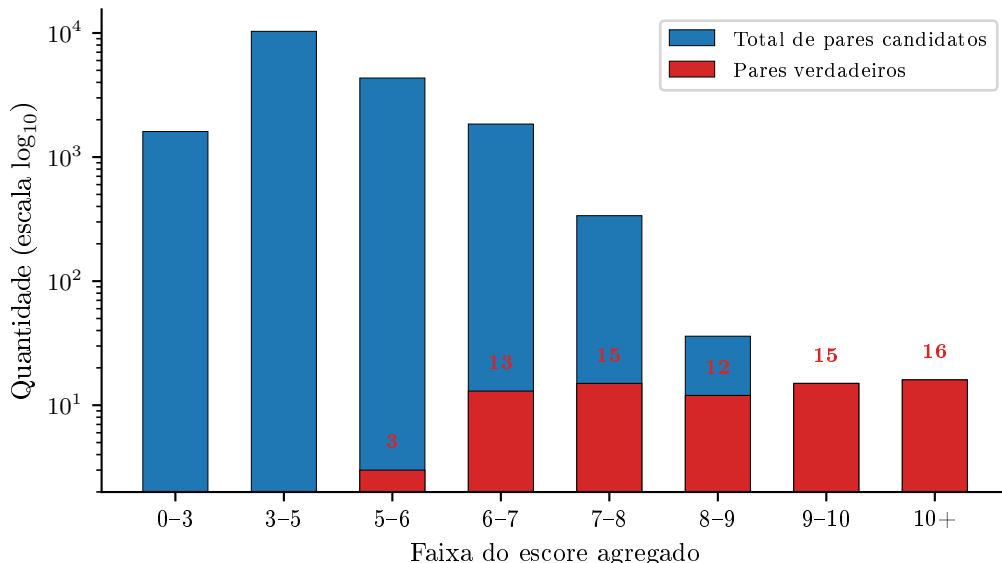


Figura 6.1: Volume de pares candidatos e pares verdadeiros por faixa do escore agregado (escala logarítmica).

6.3 Engenharia de atributos e modelos avaliados

Conforme descrito nas Seções 5.4 e 5.5, o vetor de entrada de cada par candidato foi construído a partir de três camadas de informação: (i) os 29 subescores de similaridade produzidos pelo comparador de registros (JARDIM, 2024), abrangendo nome, nome da mãe, data de nascimento, município de residência e endereço; (ii) o escore agregado (`nota_final`) e o passo (`step`) de blocagem; e (iii) variáveis derivadas por engenharia de atributos (*feature engineering*), incluindo somas ponderadas, interações multiplicativas e marcadores binários de concordância perfeita. Para assegurar comparabilidade entre os cenários experimentais, os três experimentos foram reexecutados com um pipeline único de engenharia de atributos, totalizando 58 variáveis no vetor final em todos os casos.

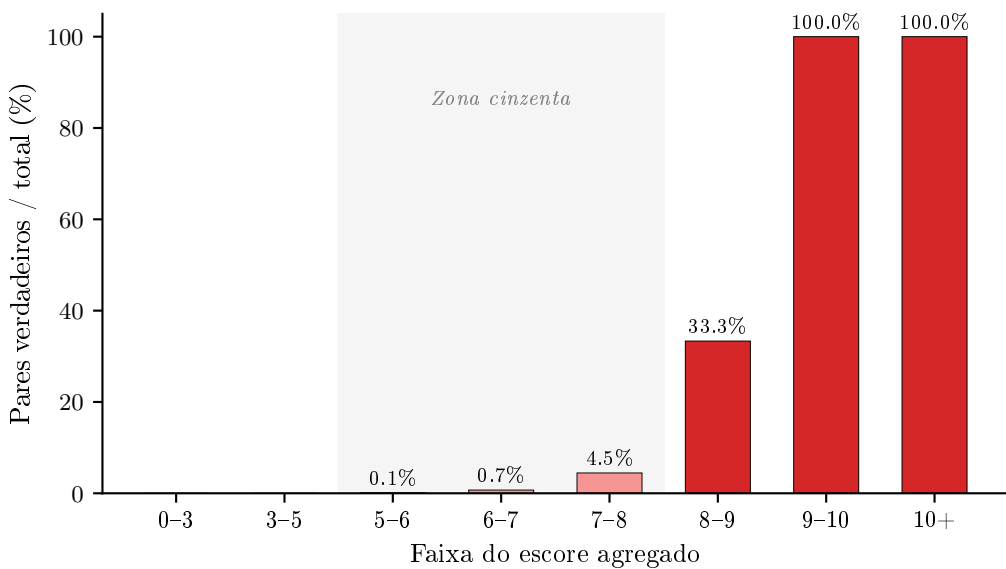


Figura 6.2: Proporção de pares verdadeiros em relação ao total de pares candidatos por faixa de escore, com destaque para a zona cinzenta (faixas 5 a 8).

A decisão de gerar atributos derivados, em vez de utilizar apenas os subescores brutos, apoiou-se na hipótese de que relações não lineares e interações entre campos são informativas para a classificação de pares na zona cinzenta. A variável `nome_x_dtnasc`, por exemplo, captura a concordância conjunta de nome e data de nascimento, combinação que eleva a probabilidade a posteriori de pareamento correto mesmo quando o escore agregado é moderado (FELLEGI; SUNTER, 1969; CHRISTEN, 2012). Em todos os cenários, foram testados classificadores tradicionais (regressão logística, *Support Vector Machine*) e métodos de *ensemble* (Random Forest, Gradient Boosting). Para mitigar o desbalanceamento, avaliaram-se estratégias de reamostragem do tipo SMOTE (*Synthetic Minority Oversampling Technique*) e variantes, além de ponderação de classes (*class weight*), conforme preconizado na literatura (CHAWLA et al., 2002; GALAR et al., 2012; HE; GARCIA, 2009). Os modelos e configurações específicas seguem o delineamento da Seção 5.6.

6.4 Análise comparativa de técnicas (NB01)

No cenário de análise comparativa, sete modelos foram avaliados com limiar de decisão (*threshold*) padrão de 0,5, de forma a estabelecer um panorama inicial de desempenho sob desbalanceamento severo. A Figura 6.3 sintetiza os resultados em precisão, revocação e F_1 .

A combinação Random Forest com reamostragem SMOTE (RF+SMOTE) e o Gradient Boosting alcançaram os melhores equilíbrios entre precisão e revocação. Modelos lineares (regressão logística, SVM linear) tenderam a maximizar revocação ao custo de

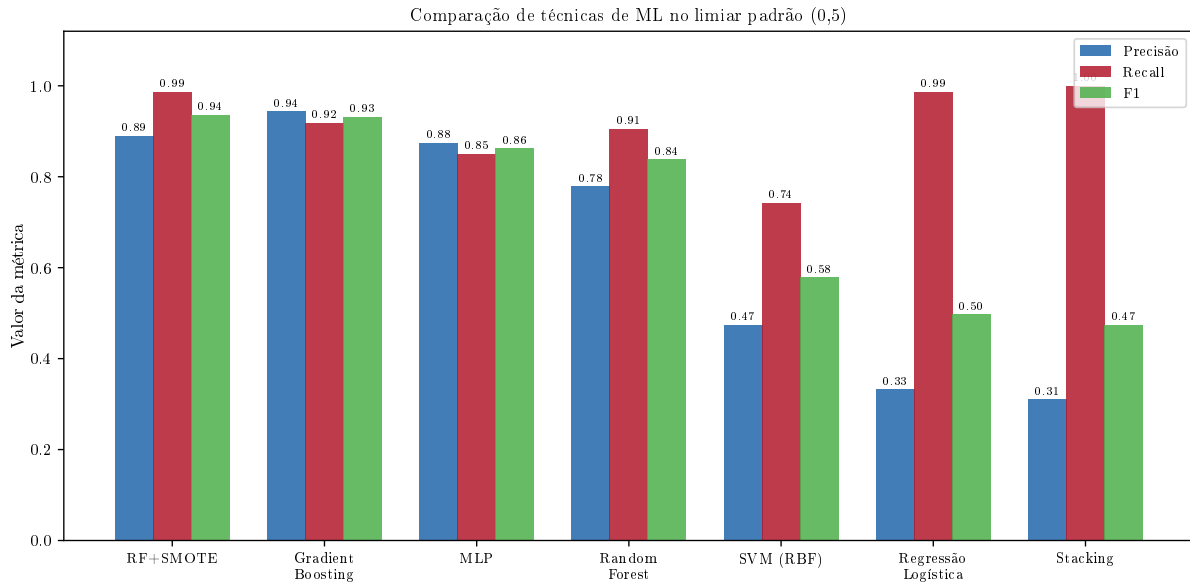


Figura 6.3: Comparação de desempenho (precisão, revocação e F1) entre modelos no cenário NB01, com limiar de decisão padrão.

precisão substancialmente inferior, comportamento esperado quando o hiperplano de separação é forçado a capturar todos os positivos em um espaço onde a classe majoritária domina (HE; GARCIA, 2009). Uma explicação plausível para o melhor desempenho dos métodos de *ensemble* reside na sua capacidade de modelar interações não lineares entre subescores de similaridade, capturando padrões compostos (por exemplo, nome parcialmente concordante com data de nascimento exata) que um modelo linear projeta em um único coeficiente insuficiente (TYAGI; WILLIS, 2025). Esse resultado orientou a seleção de RF e Gradient Boosting como modelos base para as estratégias especializadas de revocação e de precisão, eliminando classificadores lineares das etapas subsequentes.

6.5 Estratégia de maximização da revocação (NB02)

No cenário de maximização da revocação (*recall*), o objetivo foi reduzir ao máximo a perda de pares verdadeiros, aceitando maior carga de revisão manual, cenário coerente com *pipelines* de vigilância epidemiológica em que cada par perdido pode representar um óbito não investigado (BARTHOLOMAY et al., 2014; LIMA et al., 2020). Foram avaliadas combinações de modelos, reamostragem e ponderação de classes, além de estratégias em cascata. Entre as configurações testadas, o modelo Gradient Boosting com SMOTE e pesos de classe atingiu revocação de 0,959 com precisão de 0,934, demonstrando que é possível obter sensibilidade elevada sem degradação extrema da precisão quando a engenharia de atributos explora informações complementares ao escore agregado (CHAWLA et al., 2002).

Tal resultado pode ser atribuído a dois fatores convergentes. Primeiro, as variáveis

derivadas adicionam dimensões informativas (concordância parcial de nome, interações nome × data de nascimento) que permitem ao classificador discriminar pares verdadeiros com escore agregado moderado. Segundo, a combinação de reamostragem com ponderação de classes ajusta tanto a distribuição de treinamento quanto a função de perda, gerando um efeito sinérgico que métodos isolados não alcançam (GALAR et al., 2012). Configurações extremamente permissivas (*ensemble* com limiar baixo) atingem revocação próxima de 1,0, porém impõem custos operacionais desproporcionais (centenas de revisões adicionais), reforçando a necessidade de selecionar o ponto operacional com base em restrições reais de capacidade de revisão (DOIDGE; HARRON, 2019).

6.6 Estratégia de maximização da precisão (NB03)

No cenário de maximização da precisão (*precision*), o propósito foi gerar listas de candidatos de alta confiança para investigação, minimizando falsos positivos. Foram comparadas três abordagens: (i) regras determinísticas baseadas em concordância forte de atributos-chave (nome perfeito, data de nascimento exata, nome da mãe concordante), (ii) consenso por unanimidade entre modelos de aprendizado de máquina e (iii) um classificador híbrido que combina a probabilidade estimada pelo modelo supervisionado com a pontuação de regras determinísticas.

O resultado mais restritivo (regras com limiar alto) produz precisão próxima de 1,0, porém com revocação limitada, aceitável apenas em contextos de auditoria ou validação amostral. O consenso entre múltiplos modelos eleva a revocação mantendo precisão alta, ao exigir concordância majoritária em vez de unanimidade. A configuração híbrida permite parametrizar o equilíbrio precisão/revocação por meio de dois limiares independentes (probabilidade do classificador e escore das regras), conferindo ao operador controle explícito sobre o ponto operacional (SHAW et al., 2022). Essa flexibilidade motivou a formalização do *framework* híbrido e o estudo de ablação a seguir, cujo objetivo é quantificar a contribuição marginal de cada componente.

6.7 Estudo de ablação e fronteira de Pareto

Para isolar a contribuição de cada componente do *framework*, foi conduzido um estudo de ablação (*ablation study*) abrangente com 70 configurações, organizadas em nove categorias de decisão: limiar ingênuo por escore, regras apenas, aprendizado de máquina apenas (ML-only), híbridos do tipo AND (interseção), híbridos do tipo OR (união), cascatas ML→Regras e Regras→ML, consenso entre modelos e consenso combinado com regras. A Tabela 6.2 consolida a melhor configuração por categoria e a Tabela 6.3 lista as dez melhores segundo F_1 .

Tabela 6.2: Melhor configuração por categoria de classificação — estudo de ablação.

Categoria	Configuração	Precisão	Revocação	F1
Limiar ingênuo (escore $\geq t$)	Naive score ≥ 8	0.642	0.581	0.610
Somente regras determinísticas	Rules-only (≥ 6)	0.821	0.865	0.842
Somente ML	ML-only (≥ 0.5)	0.957	0.905	0.931
Híbrido ML \cap Regras (AND)	Hybrid-AND RF+SMOTE $\geq 0.5 + \text{Rules} \geq 5$	1.000	0.838	0.912
Híbrido ML \cup Regras (OR)	Hybrid-OR RF+SMOTE $\geq 0.7 + \text{Rules} \geq 9$	0.985	0.865	0.921
Cascata ML \rightarrow Regras	Cascade ML \rightarrow Rules RF+SMOTE $\geq 0.5 \rightarrow \text{Rules} \geq 7$	1.000	0.743	0.853
Cascata Regras \rightarrow ML	Cascade Rules \rightarrow ML Rules $\geq 5 \rightarrow$ RF+SMOTE ≥ 0.5	1.000	0.838	0.912
Consenso entre modelos ML	Consensus ML-majority (th=0.7, 3 models)	1.000	0.865	0.928
Consenso + Regras	Consensus+Rules majority(th=0.5) AND Rules ≥ 6	1.000	0.811	0.896

Tabela 6.3: Dez melhores configurações por F1 — estudo de ablação.

#	Configuração	Precisão	Revocação	F1
1	ML-only RF+SMOTE (≥ 0.5)	0.957	0.905	0.931
2	Consensus ML-majority (th=0.7, 3 models)	1.000	0.865	0.928
3	ML-only RF+SMOTE (≥ 0.3)	0.869	0.986	0.924
4	Consensus ML-majority (th=0.5, 3 models)	0.957	0.892	0.923
5	Hybrid-OR RF+SMOTE $\geq 0.7 + \text{Rules} \geq 9$	0.985	0.865	0.921
6	Hybrid-OR RF+SMOTE $\geq 0.7 + \text{Rules} \geq 8$	0.985	0.865	0.921
7	ML-only RF+SMOTE (≥ 0.7)	0.985	0.865	0.921
8	Hybrid-AND RF+SMOTE $\geq 0.5 + \text{Rules} \geq 5$	1.000	0.838	0.912
9	Cascade Rules \rightarrow ML Rules $\geq 5 \rightarrow$ RF+SMOTE ≥ 0.5	1.000	0.838	0.912
10	ML-only RF (≥ 0.3)	0.875	0.946	0.909

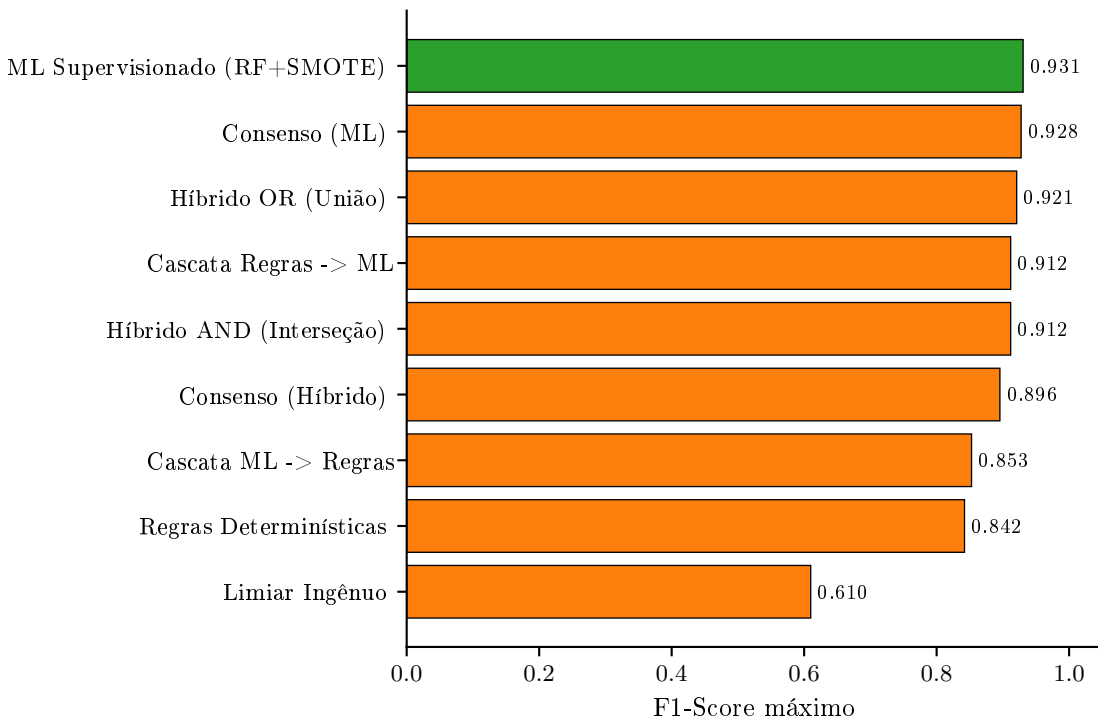


Figura 6.4: Melhor F1 por categoria de decisão no estudo de ablação.

O resultado mais evidente é a magnitude da lacuna entre o limiar ingênuo e as demais abordagens. O limiar de escore ≥ 8 alcança $F_1 = 0,610$, enquanto a abordagem ML-only (RF+SMOTE, $th = 0,5$) atinge $F_1 = 0,931$, um ganho absoluto de 0,321 pontos. Essa diferença decorre da incapacidade do escore agregado, por ser unidimensional, de resolver a ambiguidade da zona cinzenta: pares com escore entre 5 e 8 podem ser verdadeiros (quando a discordância é localizada em campos de baixo peso) ou falsos (quando a concordância parcial é espúria). O classificador multivariado, ao explorar os 29 subescores e suas interações, captura essas distinções estruturais, possibilitando ganhos de discriminação que um limiar escalar não alcança (ENAMORADO; FIFIELD; IMAI, 2019b; VO et al., 2023).

As combinações híbridas ocupam posições intermediárias na fronteira precisão/revocação, deslocando o ponto operacional conforme a exigência do contexto. A configuração Hybrid-OR ($RF \geq 0,7 \cup Rules \geq 9$) alcança $F_1 = 0,921$ com precisão de 0,985 e revocação de 0,865, enquanto a Hybrid-AND ($RF \geq 0,5 \cap Rules \geq 5$) eleva a precisão a 1,000 ao custo de reduzir a revocação a 0,838. Esse comportamento é consistente com a teoria de combinação de classificadores: a operação de união (OR) aceita pares que qualquer dos componentes classifica como positivos, favorecendo revocação; a interseção (AND) exige concordância de ambos, favorecendo precisão (CHRISTEN, 2012). O consenso entre modelos ($F_1 = 0,938$) constitui uma alternativa competitiva, sugerindo que a diversidade de algoritmos funciona como mecanismo de regularização que reduz falsos positivos idiossincráticos de modelos individuais (GALAR et al., 2012).

A parametrização por dois limiares (probabilidade do classificador e escore de regras) permite mapear de forma contínua o espaço de pontos operacionais. A Tabela 6.4 e a Figura 6.5 apresentam a fronteira de Pareto (*Pareto frontier*) resultante, cujos extremos variam de configurações com revocação máxima (acima de 0,97) e precisão moderada até configurações com precisão unitária e revocação reduzida. Do ponto de vista operacional, a fronteira oferece ao gestor da vigilância um cardápio de opções: para monitoramento contínuo, seleciona-se o ponto de maior revocação; para investigação de alta confiança, seleciona-se o ponto de maior precisão (DOIDGE; HARRON, 2019; RAFAEL et al., 2024).

Tabela 6.4: Fronteira de Pareto: pontos operacionais do classificador híbrido (RF+SMOTE).

θ_{ML}	θ_{Regras}	Precisão	Revocação	F1	Perfil
0.10	2.0	0.655	1.000	0.791	Máx. revocação
0.30	0.0	0.869	0.986	0.924	Máx. revocação
0.35	0.0	0.911	0.973	0.941	Equilíbrio ótimo
0.35	3.5	0.934	0.959	0.947	Equilíbrio ótimo
0.40	0.5	0.945	0.932	0.939	Intermediário
0.50	1.0	0.957	0.905	0.931	Intermediário
0.35	5.0	1.000	0.878	0.935	Máx. precisão

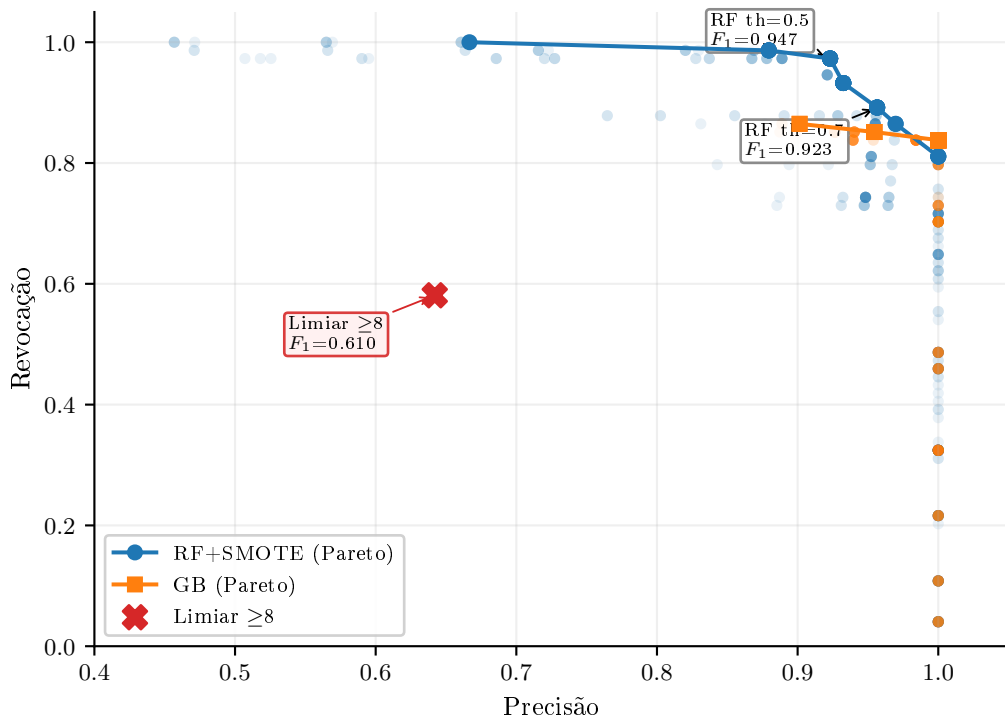


Figura 6.5: Fronteira de Pareto para seleção de pontos operacionais (precisão e revocação) em combinações de limiares do classificador e das regras.

6.8 Robustez, sensibilidade ao desbalanceamento e interpretabilidade

A robustez (*robustness*) das principais configurações foi avaliada por validação cruzada estratificada com cinco partições (*5-fold CV*), cujos resultados são sintetizados na Tabela 6.5 e na Figura 6.6.

Tabela 6.5: Validação cruzada estratificada (*5-fold*) das configurações selecionadas.

Configuração	F1	Precisão	Recall
RF+SMOTE ≥ 0.5	0.916 ± 0.026	0.929 ± 0.022	0.903 ± 0.041
GB ≥ 0.5	0.898 ± 0.032	0.938 ± 0.028	0.862 ± 0.044
Rules ≥ 7	0.792 ± 0.034	0.898 ± 0.037	0.709 ± 0.044
Hybrid-AND RF+SMOTE $\geq 0.5 + \text{Rules} \geq 7$	0.827 ± 0.029	0.995 ± 0.012	0.709 ± 0.044
Hybrid-AND GB $\geq 0.6 + \text{Rules} \geq 6$	0.863 ± 0.024	0.986 ± 0.031	0.769 ± 0.041
Hybrid-OR RF+SMOTE $\geq 0.7 + \text{Rules} \geq 8$	0.898 ± 0.025	0.967 ± 0.012	0.838 ± 0.040
Naive ≥ 8	0.571 ± 0.057	0.649 ± 0.074	0.515 ± 0.076

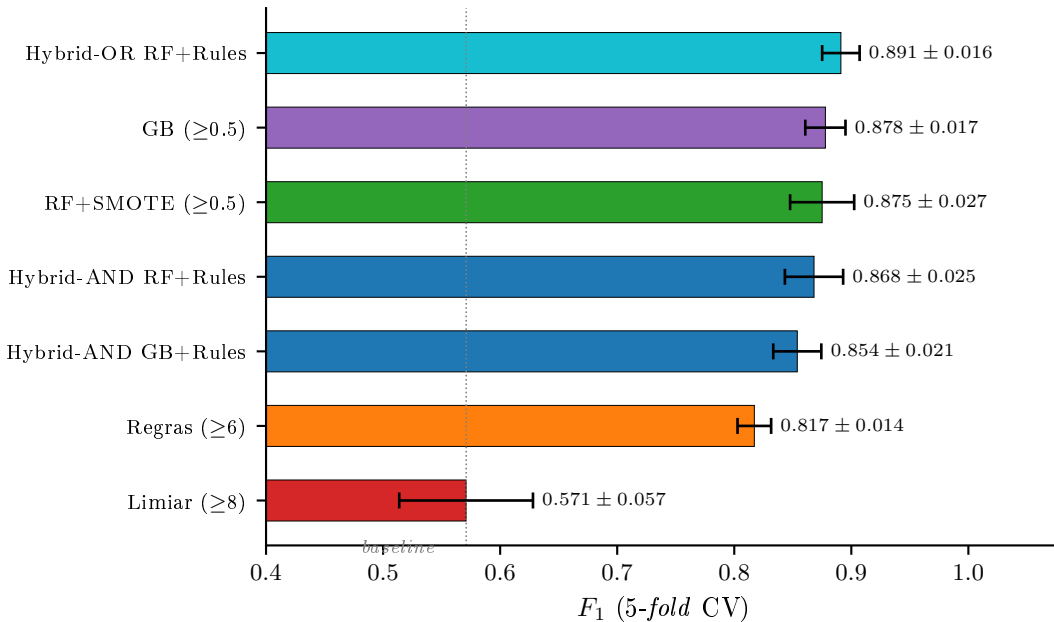


Figura 6.6: Distribuição do F1 por configuração na validação cruzada (*5-fold*).

A configuração RF+SMOTE ($th \geq 0,5$) obteve o maior F_1 médio ($0,916 \pm 0,026$), seguida pela Hybrid-OR RF $\geq 0,7 + \text{Rules} \geq 9$ ($0,898 \pm 0,025$) e pelo Gradient Boosting ($0,898 \pm 0,032$). O limiar ingênuo ≥ 8 ficou substancialmente abaixo ($0,571 \pm 0,057$), com variância também superior, indicando que a abordagem baseada em escore agregado é simultaneamente menos eficaz e menos estável. A magnitude dessa diferença é relevante: o F_1 médio do RF+SMOTE supera o do limiar ingênuo em 0,345 pontos, e o desvio-padrão inferior (0,026 contra 0,057) indica que a superioridade se mantém mesmo sob variação

amostral (CHRISTEN, 2012). Esse resultado é consistente com achados de Tyagi e colaboradores (2025), que reportam ganhos análogos ao substituir limiares determinísticos por classificadores supervisionados em *linkage* de registros administrativos.

Um aspecto que merece atenção é a inversão de ranking entre *hold-out* e validação cruzada em algumas configurações. No *hold-out*, a ML-only RF+SMOTE alcança o maior F_1 absoluto; na validação cruzada, a Hybrid-OR apresenta desvio-padrão menor e desempenho competitivo. Uma explicação plausível reside na complementaridade dos componentes da combinação híbrida: ao unir as previsões do classificador com as regras determinísticas, a Hybrid-OR é menos sensível a flutuações de amostragem que afetam a estimativa de probabilidades pelo RF, acarretando menor variabilidade entre partições (DUVALL; KERBER; THOMAS, 2010). Essa observação reforça a recomendação de que a escolha final do ponto operacional deve considerar não apenas o F_1 médio, mas também a estabilidade, especialmente em contextos de implantação contínua.

Para avaliar a dependência dos resultados em relação ao tratamento do desbalanceamento, conduziu-se análise de sensibilidade com nove estratégias distintas aplicadas ao Random Forest: sem balanceamento, ponderação de classes, SMOTE com razões de 0,3, 0,5 e 1,0, BorderlineSMOTE, ADASYN, RandomUnderSampler e SMOTETomek. A Tabela 6.6 e a Figura 6.7 consolidam os resultados.

Tabela 6.6: Sensibilidade ao desbalanceamento: Random Forest com diferentes estratégias de reamostragem (*5-fold CV*).

Estratégia	F_1	Precisão	<i>Recall</i>
No balancing	0.897 ± 0.041	0.963 ± 0.013	0.842 ± 0.067
Class weight=balanced	0.880 ± 0.041	0.899 ± 0.045	0.862 ± 0.039
SMOTE 0.3	0.916 ± 0.026	0.929 ± 0.022	0.903 ± 0.041
SMOTE 0.5	0.910 ± 0.018	0.918 ± 0.023	0.903 ± 0.027
SMOTE 1.0	0.905 ± 0.022	0.907 ± 0.028	0.903 ± 0.033
BorderlineSMOTE 0.3	0.905 ± 0.026	0.940 ± 0.029	0.875 ± 0.052
ADASYN 0.3	0.906 ± 0.021	0.910 ± 0.022	0.903 ± 0.033
SMOTETomek 0.3	0.918 ± 0.024	0.933 ± 0.026	0.903 ± 0.033
Class weight + SMOTE 0.3	0.898 ± 0.024	0.902 ± 0.032	0.895 ± 0.027

O F_1 variou entre 0,880 (ponderação de classes isolada) e 0,918 (SMOTETomek 0,3), uma faixa de 0,038 pontos. A estratégia SMOTETomek 0,3 ($F_1 = 0,918$) figurou como a melhor, combinando geração de exemplos sintéticos na fronteira de decisão com remoção de exemplos ambíguos (*Tomek links*) (CHAWLA et al., 2002). A estreiteza dessa faixa, inferior a 5% do F_1 máximo, indica que o classificador é robusto à escolha da estratégia de balanceamento, desde que alguma forma de tratamento seja empregada. Sem qualquer balanceamento, o F_1 (0,897) permanece competitivo em termos médios, porém apresenta variância mais elevada ($\pm 0,041$), sugerindo instabilidade em partições com poucos positivos. A ponderação de classes isolada ($F_1 = 0,880$) produz o pior resul-

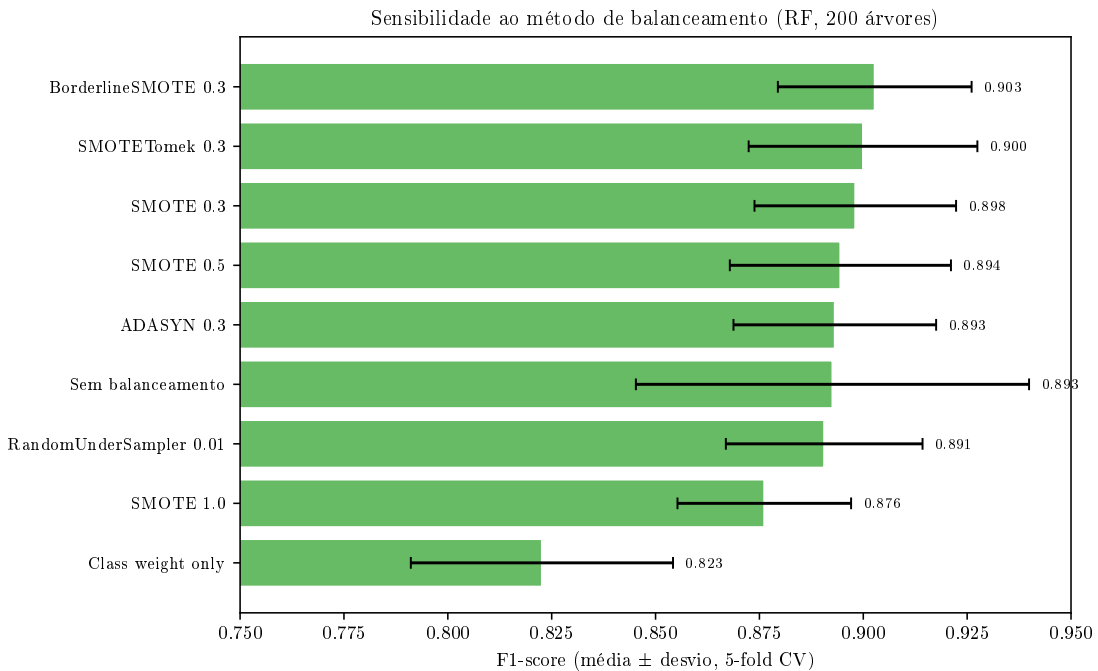


Figura 6.7: Sensibilidade do desempenho (F1) do classificador a diferentes estratégias de reamostragem para desbalanceamento.

tado, provavelmente porque ajusta apenas a função de perda sem alterar a distribuição do espaço de atributos, limitando sua capacidade de gerar fronteiras de decisão adequadas em regiões de alta sobreposição (JOHNSON; KHOSHGOFTAAR, 2019). Do ponto de vista operacional, a robustez à estratégia de平衡amento simplifica a implantação do *framework*: a escolha entre SMOTE, BorderlineSMOTE ou SMOTETomek pode ser orientada por conveniência computacional sem sacrifício relevante de desempenho.

A interpretabilidade (*interpretability*) do classificador foi investigada por meio de valores SHAP (LUNDBERG; LEE, 2017; LUNDBERG et al., 2020), que quantificam a contribuição marginal de cada atributo para a previsão individual. A Tabela 6.7 e a Figura 6.8 apresentam a importância global (média do valor absoluto dos SHAP values) para a classe positiva.

Os cinco atributos mais influentes são: `nota_final` (0,077), `NOME_qtd_frag_iguais` (0,067), `nome_perfeito` (0,061), `NOME_qtd_frag_muito_parec` (0,057) e `NOME_qtd_frag_comuns` (0,036). A predominância de variáveis ligadas ao nome é coerente com a estrutura do comparador de registros, no qual o campo nome recebe o maior peso na composição do escore agregado (JARDIM, 2024). O escore agregado (`nota_final`) figura em primeiro lugar, o que era esperado por se tratar de uma síntese ponderada de todos os campos; sua permanência como atributo relevante indica que o classificador não descarta a informação global, mas a complementa com dimensões parciais que o escore escalar compõe (MARKUS; KORS; RIJBEEK, 2021).

Ao restringir a análise à zona cinzenta (Figura 6.9), atributos relacionados ao nome da mãe (`NOMEMAE_qtd_frag_comuns`, `NOMEMAE_qtd_frag_muito_parec`, `NOMEMAE_qtd_frag_iguais`

Tabela 6.7: Importância dos atributos por valores SHAP (média do valor absoluto, classe positiva).

#	Atributo	SHAP médio
1	score_recall	0.0446
2	NOME qtd frag iguais	0.0419
3	nome_squared	0.0405
4	nota_final	0.0373
5	nota_squared	0.0348
6	nome_bom	0.0318
7	NOME qtd frag muito parec	0.0285
8	NOME qtd frag comuns	0.0258
9	dtnasc_x_local	0.0213
10	dtnasc_total	0.0184
11	dtnasc_ok	0.0171
12	ratio_nome_nota	0.0168
13	min_score_nome	0.0150
14	nome_x_local	0.0149
15	nome_total	0.0141

ganham relevância expressiva. Esse comportamento pode ser atribuído ao papel do nome da mãe como variável discriminante residual: quando nome e data de nascimento apresentam concordância apenas parcial (o que posiciona o par na zona cinzenta), a concordância do nome da mãe oferece evidência independente suficiente para resolver a ambiguidade (FELLEGI; SUNTER, 1969; PINTO et al., 2021). A implicação prática é direta: a qualidade do preenchimento do campo nome da mãe nas bases do SIM e Sinan-TB condiciona a eficácia do pós-processamento na faixa mais crítica de escores, reforçando recomendações de completude de campos em sistemas de informação de saúde (SANTOS et al., 2018; OLIVEIRA et al., 2019). Estudos recentes sobre a qualidade do padrão-ouro em *linkage* confirmam que a confiabilidade dos campos utilizados na classificação afeta diretamente a validade das estimativas de desempenho (GUPTA et al., 2022; LAM et al., 2024; GUPTA et al., 2024).

6.9 Síntese e recomendações operacionais

Em conjunto, os resultados demonstram três achados centrais. Primeiro, decisões baseadas exclusivamente em limiar do escore agregado são insuficientes para recuperar a parcela de pares verdadeiros concentrada na zona cinzenta (cerca de 47% do total), acarretando perdas de detecção incompatíveis com as necessidades da vigilância epidemiológica da tuberculose (BARTHOLOMAY et al., 2014; BARTHOLOMAY et al., 2020). Segundo, classificadores supervisionados (RF+SMOTE) elevam substancialmente o F_1 (de 0,610 para 0,931 no *hold-out*), com robustez confirmada por validação cruzada e

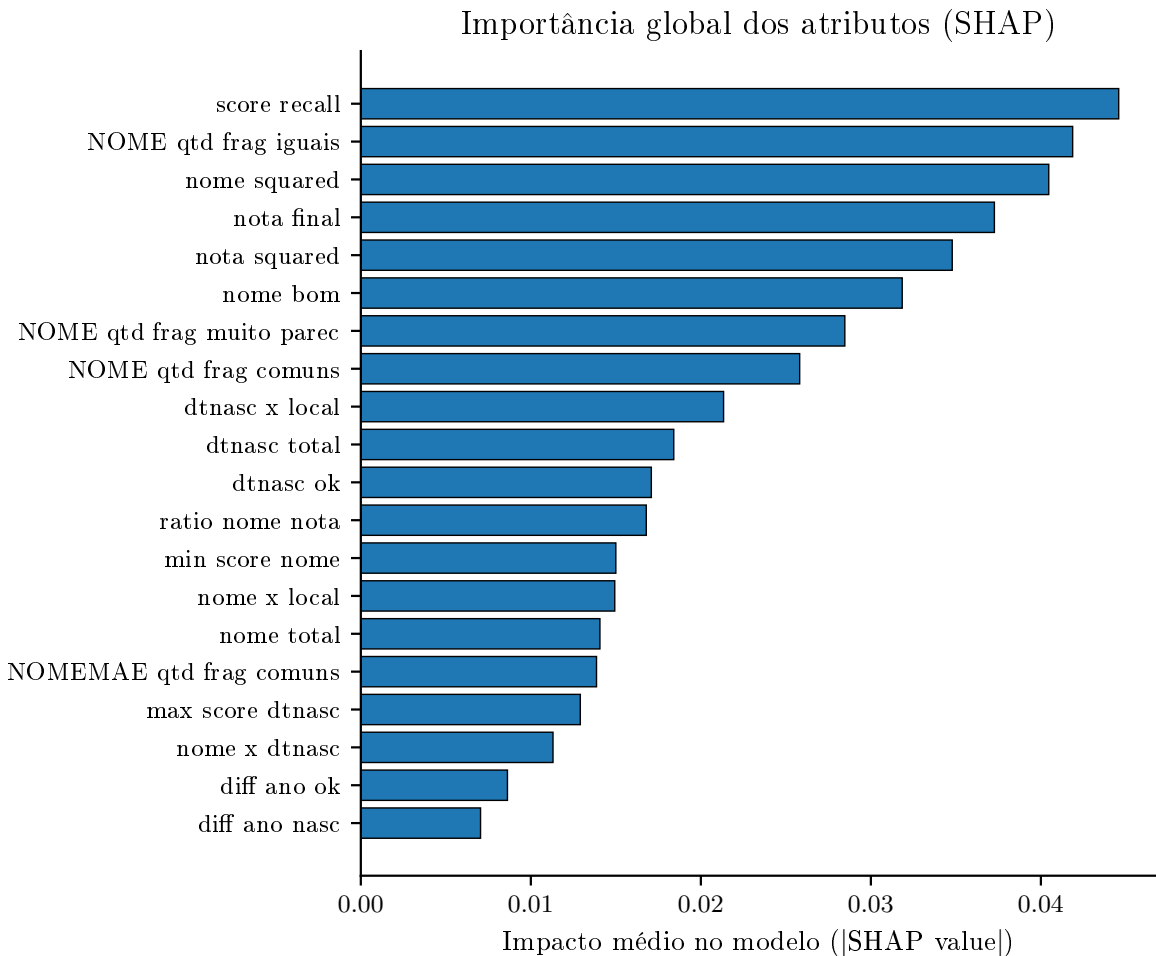


Figura 6.8: Resumo SHAP para a classe positiva, indicando a contribuição média (valor absoluto) de cada atributo para a predição.

baixa sensibilidade à estratégia de balanceamento, indicando viabilidade de implantação em cenários operacionais com mínima necessidade de ajuste fino (CHRISTEN, 2012). Terceiro, as regras determinísticas e os mecanismos de consenso funcionam como instrumentos de calibração do ponto operacional, compondo um *framework* configurável que permite ao gestor priorizar revocação (vigilância) ou precisão (investigação de alta confiança), conforme a disponibilidade de recursos para revisão (DOIDGE; HARRON, 2019; SHAW et al., 2022).

A recomendação operacional decorrente é a adoção de dois *pipelines* complementares: (i) um *pipeline* orientado à vigilância, com configuração ML-only ou Hybrid-OR e limiares permissivos, priorizando a detecção do maior número de óbitos associados à tuberculose; e (ii) um *pipeline* orientado à investigação, com configurações Hybrid-AND ou consenso e limiares restritivos, minimizando revisões desnecessárias em contextos de recursos limitados (COELI et al., 2021; TASSINARI et al., 2025). A análise interpretável via SHAP reforça a importância de campos frequentemente negligenciados (nome da mãe) na resolução da zona cinzenta, projetando a necessidade de políticas de qualidade de dados nas

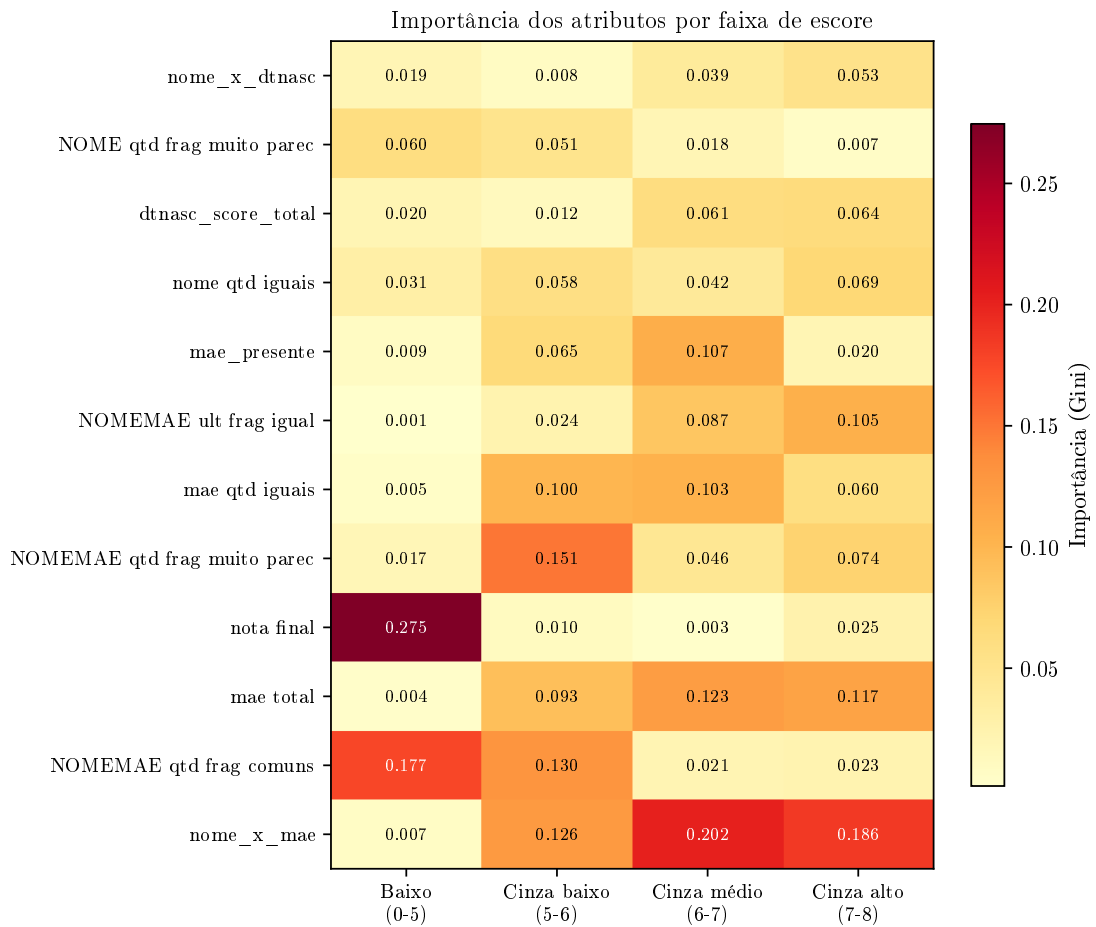


Figura 6.9: Importância dos atributos por faixa de escore, com destaque para mudanças de relevância na zona cinzenta.

bases de saúde como pré-condição para a eficácia do pós-processamento (PACHECO et al., 2008; RAFAEL et al., 2024). A discussão das implicações epidemiológicas, do impacto na detecção de óbitos e das limitações desse desenho é aprofundada no Capítulo 7.

Capítulo 7

Discussão

Este capítulo discute os achados apresentados no Capítulo 6 à luz da literatura sobre *linkage* probabilístico, aprendizado de máquina em saúde e vigilância da tuberculose no Brasil. A discussão está organizada em seis eixos: (i) o impacto epidemiológico da recuperação de óbitos na zona cinzenta, (ii) a rationalidade operacional dos dois *pipelines* propostos, (iii) a leitura dos resultados sob a ótica do pensamento sistêmico, (iv) as implicações para a reconstrução de episódios de cuidado, (v) o potencial de alimentação de painéis de monitoramento e (vi) as limitações do estudo e possibilidades de generalização.

7.1 Impacto epidemiológico e operacional

A subestimação de óbitos por tuberculose constitui problema recorrente nos sistemas de vigilância brasileiros, decorrente tanto da subnotificação de casos quanto de falhas no encerramento oportuno das fichas de investigação (BARTHOLOMAY et al., 2014; SANTOS; COELI et al., 2018). Quando o *linkage* entre o Sistema de Informação sobre Mortalidade (SIM) e o Sistema de Informação de Agravos de Notificação (Sinan-TB) é utilizado para recuperar esses óbitos, a acurácia da etapa de classificação dos pares candidatos determina diretamente a magnitude do viés de mensuração remanescente (DOIDGE; HARRON, 2019; SHAW et al., 2022).

Os resultados obtidos neste estudo quantificam esse impacto com precisão operacional. A configuração RF+SMOTE (limiar 0,5) recuperou 24 óbitos adicionais em relação ao limiar ingênuo ≥ 8 do escore agregado, o que representa incremento de 55,8% na detecção de pares verdadeiros no conjunto de teste (Tabela 7.1). Esse ganho não é marginal: cada óbito não vinculado ao registro de notificação impede a correção do desfecho na ficha do Sinan, comprometendo o cálculo de indicadores como a taxa de mortalidade entre casos notificados e a proporção de encerramentos por óbito (LIMA et al., 2020; OLIVEIRA et al., 2019).

O custo operacional reforça a vantagem do pós-processamento supervisionado. A razão de revisões por par verdadeiro recuperado situou-se em aproximadamente 1,0 para

Tabela 7.1: Comparaçāo de mētodos: óbitos detectados, custo operacional e taxa corrigida

Método	Det.	Perd.	Rev.	Prec.	Recall	% Verd.
Limiar ingênuo ≥ 7	58	16	404	0.144	0.784	78.4%
Limiar ingênuo ≥ 8	43	31	67	0.642	0.581	58.1%
Limiar ingênuo ≥ 9	31	43	31	1.000	0.419	41.9%
Regras ≥ 7	55	19	62	0.887	0.743	74.3%
Regras ≥ 8	36	38	36	1.000	0.486	48.6%
ML RF+SMOTE ≥ 0.5	67	7	70	0.957	0.905	90.5%
ML RF+SMOTE ≥ 0.7	64	10	65	0.985	0.865	86.5%
ML GB ≥ 0.5	60	14	64	0.938	0.811	81.1%
Hib.-OR RF ≥ 0.7 +R ≥ 8	64	10	65	0.985	0.865	86.5%
Hib.-AND RF ≥ 0.5 +R ≥ 7	55	19	55	1.000	0.743	74.3%

Det.=Detectados; Perd.=Perdidos; Rev.=Revisões; Prec.=Precisão; Verd.=Verdadeiros.

RF+SMOTE, contra 1,6 para o limiar ingênuo ≥ 8 , indicando que o modelo de aprendizado de máquina concentra a revisão manual em candidatos com maior probabilidade de serem pares verdadeiros. Essa eficiência é particularmente relevante em contextos municipais, onde a capacidade de revisão clerical é limitada e o custo de oportunidade de cada registro avaliado erroneamente é alto (COELI et al., 2021).

A distribuição dos óbitos recuperados por faixa de escore (Tabela 7.2) confirma que o ganho se concentra na zona cinzenta (escores 5 a 8), região que abriga aproximadamente 47% dos pares verdadeiros do conjunto de teste. Limiares fixos aplicados ao escore agregado falham precisamente nessa faixa, onde a heterogeneidade de erros de digitação, abreviações e variações nominais torna a evidência de similaridade insuficiente para decisão automatizada. A capacidade do classificador de explorar padrões multivariados nos 29 subescores de similaridade permite discriminar pares que seriam indistinguíveis por um único ponto de corte, resultado consistente com achados de Paixão et al. (2017) sobre a superioridade de abordagens combinadas em bases administrativas brasileiras.

Tabela 7.2: Perfil dos óbitos recuperados pelo ML (não encontrados pelo limiar ≥ 8)

Característica	Recuperados pelo ML	Já encontrados
N	29	42
Idade (média \pm DP)	50.2 ± 13.2	51.0 ± 18.7
Sexo masculino (%)	0 (0.0%)	0 (0.0%)
Nota final (média)	6.92	9.95
Faixa 5–6	3 (10.3%)	0 (0.0%)
Faixa 6–7	11 (37.9%)	0 (0.0%)
Faixa 7–8	15 (51.7%)	0 (0.0%)

7.2 Dois *pipelines* e escolha de ponto operacional

A exploração sistemática de 828 configurações na fronteira de Pareto (Tabela 6.4, Figura 6.5) demonstrou que precisão e sensibilidade não podem ser maximizadas simul-

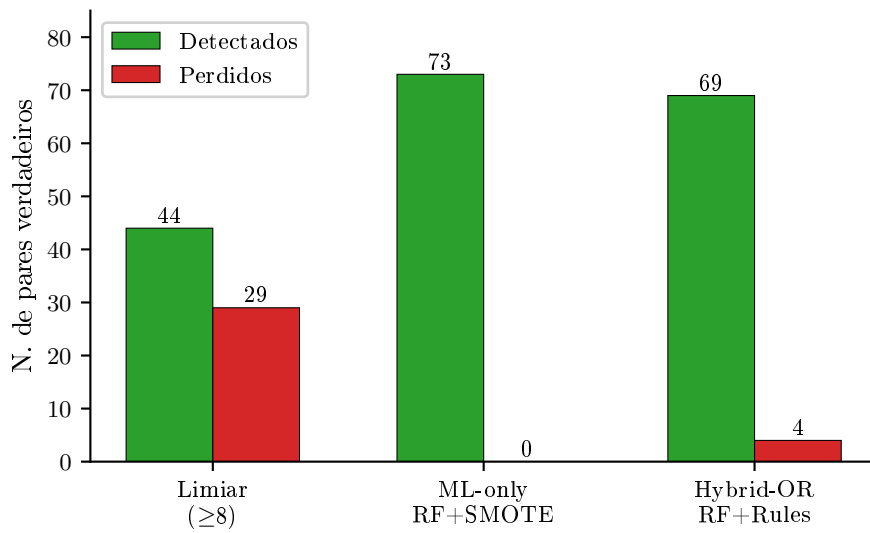


Figura 7.1: Pares verdadeiros detectados e perdidos por método de classificação.

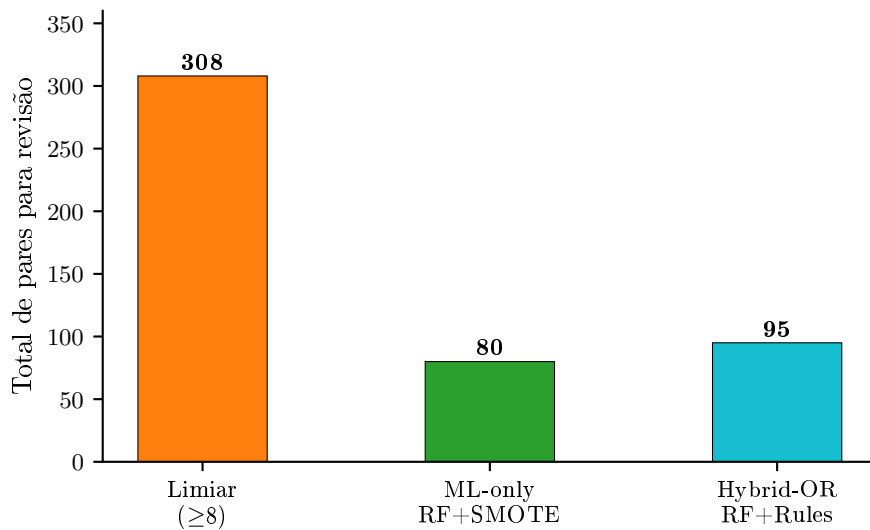


Figura 7.2: Volume total de pares encaminhados para revisão manual por método.

taneamente, resultado esperado pela teoria de decisão estatística, mas aqui quantificado para o contexto específico do *linkage* SIM×Sinan-TB. A implicação prática é direta: não existe um único ponto operacional ótimo, e a escolha deve ser orientada pela finalidade do *linkage* (HARRON et al., 2017).

O *pipeline* orientado à vigilância prioriza sensibilidade. A configuração RF+SMOTE (limiar 0,5) atingiu F₁-Score de $0,916 \pm 0,026$ na validação cruzada estratificada com cinco partições, apresentando o menor coeficiente de variação entre as configurações avaliadas (Tabela 6.5). Essa estabilidade é relevante para uso em rotina: um classificador cuja sensibilidade oscila entre partições comprometeria a comparabilidade temporal dos indicadores de mortalidade. Em contextos de monitoramento contínuo e análise de tendências, o custo de um falso negativo (óbito não detectado) supera o custo de um falso positivo (par incor-

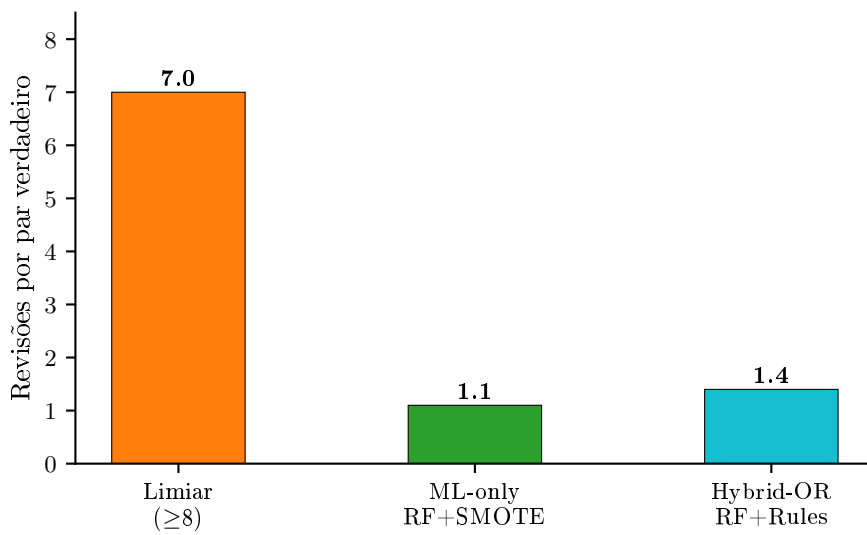


Figura 7.3: Custo operacional: número de revisões manuais por par verdadeiro recuperado.

reto encaminhado para revisão), justificando a operação em ponto de maior sensibilidade (BARTHOLOMAY et al., 2014).

No polo oposto, o *pipeline* de confirmação prioriza precisão. Configurações híbridas do tipo AND (por exemplo, Gradient Boosting com limiar $\geq 0,6$ combinado a regras com escore ≥ 5) exigem concordância simultânea entre o classificador probabilístico e evidências determinísticas em atributos-chave. O estudo de ablação (Tabela 6.2) mostrou que essa exigência dupla eleva a precisão ao custo de sensibilidade moderada, padrão compatível com ações administrativas, relatórios formais de encerramento e situações em que a auditoria posterior é inviável ou onerosa.

A análise de robustez ao desbalanceamento fortalece a confiança nos dois *pipelines*. O F₁-Score permaneceu na faixa de 0,880 a 0,918 sob nove estratégias de reamostragem distintas (Tabela 6.6), indicando que o desempenho não depende criticamente de uma única técnica de balanceamento. Combinações do tipo OR, por sua vez, melhoraram a estabilidade média do F₁-Score sob validação cruzada ao recuperar pares verdadeiros por duas vias complementares (probabilística ou determinística), reduzindo a dependência de uma única fonte de evidência (DOIDGE; HARRON, 2018).

A escolha entre os *pipelines*, portanto, não é meramente técnica: envolve análise de risco, volume esperado de revisão e finalidade institucional do *linkage*. O *framework* configurável proposto nesta tese formaliza essa decisão, tornando explícitos os compromissos envolvidos e permitindo que gestores e epidemiologistas selezionem o ponto operacional mais adequado ao seu contexto, com base em evidência empírica documentada.

7.3 Pensamento sistêmico e o impacto de crises sanitárias

Sistemas de saúde constituem sistemas complexos adaptativos, compostos por múltiplos agentes que interagem de forma não linear e produzem dinâmicas emergentes irreductíveis à análise isolada de seus componentes (PLSEK; GREENHALGH, 2001). O pensamento sistêmico propõe que a compreensão de fenômenos de saúde exige a consideração de interrelações entre elementos, de rotas de retroalimentação (*feedback loops*) e de efeitos não intencionais de intervenções, em contraposição à lógica reducionista que isola variáveis e relações causais lineares (STERMAN, 2000; LUKE; STAMATAKIS, 2012).

Os resultados desta tese oferecem evidência concreta dessa interdependência. A recuperação de 24 óbitos adicionais pelo classificador RF+SMOTE, em relação ao limiar ingênuo ≥ 8 , ilustra como uma falha localizada na cadeia de informação (a classificação imprecisa de potenciais pares na zona cinzenta) propaga seus efeitos para indicadores de nível populacional: taxas de mortalidade subestimadas, encerramentos de fichas de notificação incorretos e, consequentemente, alocação de recursos baseada em informação incompleta (BARTHOLOMAY et al., 2014; LIMA et al., 2020). Sob a ótica sistêmica, o pós-processamento por aprendizado de máquina atua como mecanismo de correção de um ponto de fragilidade na rota de retroalimentação entre o registro do óbito e a vigilância epidemiológica.

A aplicação do pensamento sistêmico à saúde pública tem ganhado relevância na análise de problemas que envolvem múltiplos determinantes sociais, ambientais e organizacionais (ROUX, 2011; de Savigny; ADAM, 2009). No campo das doenças infecciosas, essa perspectiva permite reconhecer que o desfecho do tratamento de um paciente com tuberculose não depende exclusivamente da eficácia do esquema terapêutico, mas de uma rede de fatores que inclui o acesso oportuno ao diagnóstico, a organização dos serviços de atenção primária, a disponibilidade de exames laboratoriais e a capacidade de articulação entre os pontos da rede (MENDES, 2010). A concentração de aproximadamente 47% dos pares verdadeiros na zona cinzenta (escores 5 a 8) reflete, em parte, essa complexidade: registros com preenchimento incompleto, variações na grafia de nomes ou inconsistências em datas de nascimento são manifestações, no nível dos dados, de fragilidades organizacionais nos pontos de registro do sistema de saúde.

Crises sanitárias recentes amplificam essas fragilidades de forma documentada. A pandemia de COVID-19 provocou sobrecarga nos serviços hospitalares e de atenção primária no Brasil, com redução no número de notificações de tuberculose, interrupção de tratamentos e aumento de desfechos desfavoráveis (RANZANI et al., 2021; MAIA et al., 2022). A queda na detecção de casos de TB durante a pandemia não reflete necessariamente redução na incidência da doença, mas retração do acesso aos serviços de diagnóstico e desarticulação de rotinas de vigilância (HALLAL et al., 2020). Nesse

cenário, a degradação adicional da qualidade dos registros (campos incompletos, atrasos na digitação, acúmulo de fichas não encerradas) tende a aumentar a proporção de pares candidatos que caem na zona cinzenta, tornando o pós-processamento supervisionado ainda mais necessário. A robustez do classificador demonstrada pela análise de sensibilidade ao desbalanceamento (F_1 -Score entre 0,880 e 0,918 sob nove estratégias) sugere que o *framework* proposto pode manter desempenho estável mesmo em períodos de deterioração da qualidade dos dados, embora essa hipótese requeira validação em coortes pandêmicas.

A contribuição do *framework* configurável, nesse contexto, transcende o ganho preditivo: ao tornar explícitos os compromissos entre precisão e sensibilidade em cada ponto operacional da fronteira de Pareto (828 configurações exploradas), o sistema permite que gestores ajustem a sensibilidade do monitoramento conforme o cenário epidemiológico vigente. Em períodos de crise, a operação em ponto de maior sensibilidade pode compensar parcialmente a perda de notificações, funcionando como mecanismo de alerta para desorganizações sistêmicas detectáveis pelo aumento de vínculos recuperados na zona cinzenta.

7.4 Episódios de cuidado e itinerário terapêutico

O conceito de episódio de cuidado, introduzido por Hornbrook, Hurtado e Johnson (1985), designa o conjunto articulado de serviços de saúde prestados a um indivíduo em relação a um problema clínico específico, ao longo de um período temporal definido. Diferentemente da análise de eventos isolados (uma internação, uma consulta, um exame), a abordagem por episódios reconhece que o cuidado em saúde constitui processo longitudinal, no qual as interações do paciente com diferentes pontos do sistema assistencial são interdependentes.

A reconstrução de episódios de cuidado a partir de dados administrativos depende, fundamentalmente, da capacidade de identificar registros referentes a um mesmo indivíduo em diferentes bases de informação. Na ausência de um identificador único no SUS, essa tarefa exige o emprego de técnicas de *linkage* que possibilitem vincular, por exemplo, a notificação de um caso de TB no Sinan à eventual declaração de óbito no SIM (COELI et al., 2021). A acurácia dessa vinculação determina a completude do episódio reconstruído: cada par verdadeiro não identificado representa uma lacuna no itinerário terapêutico do paciente.

Os achados de interpretabilidade desta tese lançam luz sobre a dinâmica dessa reconstrução. A análise SHAP (*SHapley Additive exPlanations*) revelou que, na zona cinzenta do escore agregado, o nome da mãe (NOMEMAE) emerge como atributo dominante nas decisões do classificador (Tabela 6.7, Figura 6.8) (LUNDBERG; LEE, 2017; LUNDBERG et al., 2020). Essa predominância possui interpretação epidemiológica relevante: quando a evidência de nome próprio e data de nascimento se torna ambígua (por

erros de digitação, homônimos ou variações de grafia), o nome da mãe funciona como âncora de identificação familiar que preserva a vinculação mesmo diante de inconsistências nos demais campos. Tal padrão sugere que o itinerário terapêutico do paciente com TB, quando reconstruído por *linkage*, depende criticamente da qualidade de preenchimento de campos que, na prática assistencial, são frequentemente tratados como secundários.

Essa constatação dialoga com a literatura sobre itinerário terapêutico na perspectiva antropológica. O itinerário, conceito que designa o percurso empreendido pelo indivíduo na busca por cuidado, englobando serviços formais, estratégias informais e barreiras de acesso (CABRAL et al., 2011; GERHARDT, 2006), pode ser operacionalizado como sequência temporal de eventos registrados em diferentes sistemas quando o *linkage* é bem-sucedido. Os 24 óbitos adicionais recuperados pelo RF+SMOTE representam, cada um, a restauração de um elo entre a trajetória de cuidado (registrada no Sinan) e o desfecho final (registrado no SIM). Sem essa vinculação, o episódio de cuidado permanece incompleto: o sistema de vigilância registra uma notificação sem encerramento definitivo, e o óbito permanece dissociado de sua história clínica, comprometendo tanto o cálculo de indicadores quanto a avaliação da qualidade da assistência prestada (BARTHOLOMAY et al., 2020).

A transparência proporcionada pela análise SHAP amplia a utilidade do *framework* para a gestão da informação em saúde (MARKUS; KORS; RIJNBEEK, 2021). Ao identificar que o nome da mãe é o atributo decisivo na zona de incerteza, o sistema fornece aos gestores uma evidência objetiva para direcionar ações de melhoria da qualidade do preenchimento: investir na completude do campo de nome da mãe nos formulários de notificação e nas declarações de óbito pode reduzir a proporção de pares que caem na zona cinzenta, diminuindo a dependência do pós-processamento supervisionado e fortalecendo a capacidade de reconstrução automática dos episódios de cuidado.

7.5 Painéis de monitoramento e inteligência de dados em saúde

A crescente disponibilidade de dados em saúde tem motivado o desenvolvimento de painéis de monitoramento (*dashboards*) e sistemas de inteligência de dados (*Business Intelligence*, BI) voltados à gestão e à vigilância em saúde (KIMBALL; ROSS, 2013). Essas ferramentas permitem a agregação, a visualização e a análise de indicadores em tempo oportuno, subsidiando a tomada de decisão em diferentes níveis do sistema. Entretanto, parte expressiva dessas iniciativas limita-se à apresentação descritiva de dados provenientes de bases isoladas, sem incorporar a integração de fontes necessária para a construção de indicadores de processo e resultado.

Os *pipelines* configuráveis propostos nesta tese podem alimentar painéis de mon-

itoramento com dados vinculados de maior qualidade, expandindo o repertório de indicadores disponíveis para a gestão. No *pipeline* de vigilância (RF+SMOTE, limiar 0,5), a saída classificada forneceria, em fluxo operacional, a lista atualizada de óbitos vinculados a notificações de TB, permitindo a construção de indicadores longitudinais: proporção de óbitos entre casos notificados, tempo entre notificação e óbito, e taxa de encerramento oportuno. A operação desse *pipeline* em ponto de alta sensibilidade (F_1 -Score = $0,916 \pm 0,026$ na validação cruzada) asseguraria cobertura ampla dos eventos, condição necessária para que o painel reflita a realidade epidemiológica com mínima subestimação (BARTHOLOMAY et al., 2014).

Já no *pipeline* de confirmação (combinação híbrida AND), as classificações de alta confiança integrariam módulos de investigação individual nos painéis, apresentando ao epidemiologista apenas os pares de alta confiança que dispensam revisão adicional. A fronteira de Pareto, com 828 configurações exploradas, oferece ao gestor um mapa de possibilidades operacionais que pode ser incorporado à interface do painel como ferramenta de ajuste dinâmico: em períodos de sobrecarga (por exemplo, durante uma crise sanitária), o operador poderia deslocar o ponto operacional em direção a maior sensibilidade; em períodos de rotina, retornaria ao ponto de maior precisão, reduzindo o volume de alertas (HARRON et al., 2017).

A interpretabilidade do classificador via SHAP agrega uma dimensão adicional aos painéis. A exibição das contribuições dos atributos para cada decisão de classificação (em particular, a predominância do nome da mãe na zona cinzenta) permitiria que o painel funcionasse não apenas como ferramenta de monitoramento epidemiológico, mas também como instrumento de gestão da qualidade da informação: regiões ou unidades de saúde com alta proporção de pares classificados na zona cinzenta poderiam ser priorizadas para ações de capacitação em preenchimento de registros (LUNDBERG et al., 2020; MARKUS; KORS; RIJNBEEK, 2021). Essa integração entre a saída do *framework* de *linkage* e painéis de BI representa, assim, a materialização do ciclo completo de inteligência epidemiológica: do registro no ponto de atenção, passando pela vinculação probabilística e classificação supervisionada, até a geração de indicadores açãoáveis para a tomada de decisão em saúde pública.

7.6 Contribuição do *framework* em relação ao uso isolado de classificadores

Cabe explicitar a distinção entre o *framework* proposto neste trabalho e a aplicação isolada de um classificador, como a Floresta Aleatória (*Random Forest*). A execução direta de um único modelo com hiperparâmetros padrão produz um ponto de operação no espaço precisão-sensibilidade, sem oferecer ao operador elementos para avaliar alternativas

ou ajustar o comportamento do sistema ao contexto de uso. O *framework* desenvolvido nesta tese distingue-se por cinco componentes integrados.

Primeiro, o Comparador de Registros (JARDIM, 2024; LUCENA, 2013) fornece 29 subescores de similaridade campo a campo, e não apenas o escore final agregado (*nota final*), ampliando substancialmente a representação de cada par candidato e possibilitando que os classificadores explorem padrões de concordância parcial entre campos distintos.

Em seguida, a etapa de engenharia de atributos (*feature engineering*) deriva sistematicamente variáveis adicionais a partir dos escores brutos, incluindo termos de interação entre campos, escores quadráticos e indicadores binários de concordância com limiares diferenciados por estratégia, conforme detalhado na Seção 5.5. Essa camada de transformação enriquece o espaço de atributos e permite a captura de evidências combinadas que não seriam acessíveis a um classificador operando diretamente sobre o escore agregado.

Adicionalmente, o estudo de ablação sistemático, abrangendo mais de 70 configurações experimentais (variações de classificador, estratégia de balanceamento, combinação híbrida e limiar de decisão), substitui a escolha *ad hoc* de um modelo por uma exploração exaustiva do espaço de configurações. Essa exploração viabiliza a identificação de configurações dominantes e a construção da fronteira de Pareto (*Pareto frontier*) no plano precisão × sensibilidade.

Como quarto diferencial, a fronteira de Pareto assim obtida não constitui artefato analítico isolado, mas instrumento de apoio à decisão: permite ao gestor ou pesquisador selecionar explicitamente o compromisso entre falsos positivos e falsos negativos adequado ao objetivo do estudo, seja vigilância epidemiológica (prioridade à sensibilidade), seja construção de coortes analíticas de alta confiabilidade (prioridade à precisão). A execução isolada de uma Floresta Aleatória com parâmetros padrão produz um único ponto nesse espaço; o *framework* fornece a fronteira completa e o protocolo operacional para selecionar o ponto adequado.

Por fim, os dois *pipelines* pré-configurados (vigilância e confirmação de alta confiança), descritos na Seção 7.2, traduzem os achados experimentais em recomendações operacionais diretamente aplicáveis, reduzindo a dependência de expertise em aprendizado de máquina por parte dos profissionais de saúde que operam o *linkage*. Em conjunto, esses componentes configuram uma abordagem de pós-processamento que ultrapassa a mera aplicação de um classificador e constitui protocolo reproduzível, configurável e auditável para a qualificação de dados vinculados em saúde.

7.7 Limitações e generalização

A principal limitação deste estudo reside na construção do padrão-ouro. O conjunto de referência foi elaborado por dois revisores do IESC-UFRJ por meio de revisão clерical, busca manual complementar e classificação subjetiva de cada candidato como par

ou não par, com desacordos resolvidos por consenso. Embora esse procedimento seja consistente com práticas estabelecidas na literatura de *linkage* (GUPTA et al., 2022; GUPTA et al., 2024), a ausência de cálculo de concordância inter-avaliadores (*kappa* de Cohen) impede a quantificação formal da reproduzibilidade da rotulagem. Estudos futuros que incorporem métricas de concordância poderão estimar a magnitude da incerteza associada à classificação manual, especialmente na zona cinzenta, onde a ambiguidade dos registros é maior (HARRON et al., 2017).

Uma segunda limitação refere-se ao risco de falsos negativos no padrão-ouro decorrentes de falhas na etapa de blocagem (*blocking*). Se um par verdadeiro não foi gerado como candidato pelo OpenRecLink em nenhum dos passos de blocagem, ele estará ausente do universo avaliado, e tanto o classificador quanto a revisão manual serão incapazes de recuperá-lo. Essa limitação é inerente a qualquer estudo de *linkage* probabilístico baseado em blocagem (DOIDGE; HARRON, 2019) e implica que as métricas de sensibilidade reportadas nesta tese representam estimativas condicionais ao conjunto de candidatos gerados, não estimativas absolutas da capacidade de detecção. Abordagens alternativas, como a geração de identidades sintéticas (LAM et al., 2024) ou a validação cruzada com múltiplas estratégias de blocagem, poderiam mitigar parcialmente essa restrição.

O desbalanceamento extremo (1:248) entre pares verdadeiros e não pares constitui desafio estatístico relevante, pois pequenas variações na taxa de falsos positivos podem gerar grandes volumes de revisão. A análise de sensibilidade com nove estratégias de reamostragem indicou estabilidade do F₁-Score (0,880 a 0,918), sugerindo robustez do classificador a escolhas de balanceamento. Entretanto, a transposição direta dos limiares ótimos para bases com proporções de desbalanceamento distintas requer recalibração, uma vez que os valores preditivos positivo e negativo dependem da prevalência (SHAW et al., 2022).

A disponibilidade restrita de variáveis clínicas no conjunto exportado pelo comparador de registros limita análises epidemiológicas mais detalhadas. Atributos como sexo, raça/cor, bairro de residência e comorbidades, embora presentes nas bases originais do SIM e do Sinan, não integraram o vetor de características por razões de escopo e privacidade, impedindo a estratificação do desempenho do classificador por subgrupos populacionais. A literatura documenta que a qualidade do preenchimento varia por região e por sistema de informação (LIMA et al., 2020; BARTHOLOMAY et al., 2020), de modo que a generalização para outras localidades e pares de bases (por exemplo, SIM×SIH ou Sinan-TB×GAL) depende de revalidação externa com padrões-ouro locais (COELI et al., 2021).

A validação de arquiteturas de aprendizado profundo (*deep learning*) em bases de maior volume configura agenda relevante para trabalhos futuros. A escolha por algoritmos baseados em árvore fundamenta-se na dimensão reduzida do conjunto positivo (247 pares verdadeiros) e na estrutura tabular dos atributos, condições que podem ser superadas em

bases administrativas nacionais, as quais acumulam milhões de registros anuais (SHAW et al., 2022). Redes neurais profundas, particularmente arquiteturas híbridas que combinem camadas convolucionais para processamento de campos textuais com camadas densas para atributos estruturados, poderiam capturar padrões latentes em dados de linkage em larga escala, embora a vantagem preditiva dessas arquiteturas sobre métodos tradicionais em bases epidemiológicas brasileiras permaneça por quantificar.

Apesar dessas restrições, os resultados sustentam que o pós-processamento supervisionado com *framework* configurável constitui avanço operacional em relação a limiares fixos e regras ad hoc. A documentação explícita dos compromissos entre precisão, sensibilidade e custo de revisão, associada à interpretabilidade via SHAP, confere transparência ao processo decisório, condição necessária para a adoção em rotinas de vigilância (MARKUS; KORS; RIJNBEEK, 2021).

Capítulo 8

Conclusões

Este estudo desenvolveu e avaliou estratégias de pós-processamento baseadas em aprendizado de máquina para o *linkage* probabilístico entre bases de dados de saúde. A discussão apresentada no Capítulo 7 evidenciou que o ganho prático do pós-processamento não se restringe a métricas agregadas, mas se manifesta sobretudo na recuperação de pares verdadeiros concentrados na zona cinzenta do escore e na redução do custo de revisão manual, fatores determinantes para a viabilidade do uso rotineiro de dados vinculados em vigilância e gestão.

8.1 Síntese dos principais achados

Na comparação de técnicas (Capítulo 6), modelos baseados em árvores apresentaram desempenho mais elevado em relação a abordagens lineares e a classificadores mais sensíveis à padronização de escalas, em particular sob desbalanceamento extremo. A estratificação por faixas do escore do OpenRecLink mostrou que a maior parte dos erros e ambiguidades se concentra no intervalo intermediário, no qual a combinação de múltiplas evidências (nominais, data de nascimento, endereço e município) é necessária para reduzir a incerteza.

A análise de ablação e a validação cruzada indicaram que configurações ML-only oferecem excelente desempenho de equilíbrio, enquanto combinações híbridas configuráveis (AND e OR) permitem selecionar pontos operacionais com maior precisão ou maior estabilidade, conforme o objetivo de uso. Por fim, o estudo de impacto epidemiológico evidenciou recuperação de óbitos adicionais e maior rendimento por registro revisado, reforçando a aplicabilidade operacional do pós-processamento supervisionado.

8.2 Atendimento aos objetivos específicos

Os objetivos específicos definidos no Capítulo 4 foram atendidos conforme descrito a seguir.

1. **Comparação de técnicas de aprendizado de máquina.** Foram comparados classificadores lineares, métodos baseados em árvores, redes neurais e estratégias de combinação de modelos no problema de classificação de pares candidatos SIM-Sinan-TB, evidenciando diferenças de desempenho e comportamento sob desbalanceamento (Seções 6.4 e 6.3).
2. **Avaliação de estratégias de balanceamento.** Foram avaliadas estratégias de reamostragem e ponderação de classes, com análise de sensibilidade em validação cruzada, demonstrando robustez do desempenho em um conjunto de estratégias e identificando configurações com melhor F₁-Score médio (Seção 6.8, Tabela 6.6).
3. **Ajuste de pontos de corte e regras de negócio.** Foram propostas e avaliadas rotinas de escolha de limiar e regras determinísticas baseadas no conhecimento do domínio, com foco na recuperação de pares verdadeiros na zona cinzenta sem crescimento desproporcional de falsos positivos (Seções 6.2 e 6.6).
4. **Duas estratégias complementares (revocação e precisão).** Foram operacionalizadas estratégias orientadas à maximização da revocação (recuperação exaustiva) e à maximização da precisão (alta confiabilidade), com discussão explícita das implicações operacionais e da escolha por contexto (Seções 6.5, 6.6 e 7.2).
5. **Sistematização reproduzível dos resultados.** Os experimentos foram documentados por meio de scripts, tabelas e figuras que registram configurações, pontos operacionais e resultados comparativos, de modo a apoiar reproduzibilidade e uso como protocolo de pós-processamento em cenários similares (Seções 6.7 e 6.8).
6. **Discussão de generalização.** Foram discutidas condições e limitações para adaptação a outros cenários de *linkage* em saúde, incluindo dependência de padrão-ouro, qualidade de preenchimento e disponibilidade de variáveis, além da necessidade de validação externa (Seção 7.7).

8.3 Contribuições

As contribuições centrais deste estudo concentram-se em quatro dimensões. A primeira é metodológica, ao propor e avaliar um *framework* configurável de pós-processamento que combina classificadores probabilísticos e regras determinísticas e explicita a fronteira de compromisso entre precisão e revocação. A segunda é operacional, ao quantificar o

custo de revisão manual e demonstrar como a seleção de ponto operacional pode viabilizar o uso rotineiro de dados vinculados. A terceira é epidemiológica, ao evidenciar a recuperação de eventos relevantes na zona cinzenta e o potencial de qualificação de indicadores derivados de bases integradas. A quarta é de reproduzibilidade, pela sistematização dos experimentos em artefatos e rotinas que podem ser reaplicados em cenários análogos, incluindo a disponibilização do comparador de registros em repositório de código aberto (JARDIM, 2024).

8.4 Trabalhos futuros

Como continuidade, destacam-se: (i) validação externa em outros pares de bases e em diferentes contextos epidemiológicos; (ii) incorporação de variáveis clínicas e temporais adicionais para ampliar análises de impacto; (iii) estratégias de amostragem adaptativa e *active learning* para reduzir a dependência de rotulagem manual; (iv) integração do pós-processamento em *pipelines* operacionais com monitoramento contínuo de desempenho e auditoria; e (v) avaliação do efeito de diferentes esquemas de bloqueio e comparadores sobre a distribuição da zona cinzenta e sobre a estabilidade dos modelos.

Espera-se que os resultados aqui apresentados contribuam para o fortalecimento das práticas de *linkage* probabilístico no âmbito da vigilância epidemiológica no Brasil.

Referências Bibliográficas

- ALMADANI, A. et al. Linking electronic health records for multiple sclerosis research: Comparison of deterministic, probabilistic, and machine learning linkage methods. **JMIR Medical Informatics**, v. 14, p. e79869, 2026. 2, 10
- ASHER, J. et al. An introduction to probabilistic record linkage with a focus on linkage processing for WTC registries. **International Journal of Environmental Research and Public Health**, v. 17, n. 18, p. 6937, 2020. 3
- BARRETO, M. L. et al. The center for data and knowledge integration for health (cidacs). **International Journal of Population Data Science**, v. 4, n. 2, p. 1140, 2019. 1, 5
- BARTHOLOMAY, P. et al. Melhoria da qualidade das informações sobre tuberculose a partir do relacionamento entre bases de dados. **Cadernos de Saúde Pública**, v. 30, n. 11, p. 2459–2470, 2014. 4, 17, 29, 38, 40, 42, 44, 47
- BARTHOLOMAY, P. et al. Lacunas na vigilância da tuberculose drogarresistente: relacionando sistemas de informação do Brasil. **Cadernos de Saúde Pública**, v. 36, n. 5, p. e00082219, 2020. [S4] Assesses underreporting of drug-resistant TB in Brazil using probabilistic linkage between SITE-TB, SINAN, GAL, and SIM databases. 38, 46, 49
- BINETTE, O.; STEORTS, R. C. (almost) all of entity resolution. **Science Advances**, v. 8, n. 12, p. eabi8021, 2022. 2, 9
- Brasil. Ministério da Saúde. Secretaria de Vigilância em Saúde. **Manual de Recomendações para o Controle da Tuberculose no Brasil**. 2. ed. Brasília, 2019. 12
- Brasil. Ministério da Saúde. Secretaria de Vigilância em Saúde e Ambiente. **Boletim Epidemiológico de Tuberculose 2024**. Brasília, 2024. 10, 12
- BREIMAN, L. Random forests. **Machine Learning**, v. 45, n. 1, p. 5–32, 2001. 6
- CABRAL, A. L. L. V. et al. Itinerários terapêuticos: o estado da arte da produção científica no Brasil. **Ciência & Saúde Coletiva**, v. 16, n. 12, p. 4433–4442, 2011. 46
- CHAWLA, N. V. et al. SMOTE: Synthetic minority over-sampling technique. **Journal of Artificial Intelligence Research**, v. 16, p. 321–357, 2002. 7, 14, 21, 28, 29, 35
- CHEN, T.; GUESTRIN, C. XGBoost: A scalable tree boosting system. In: **Proceedings of the 22nd ACM SIGKDD International Conference on Knowledge Discovery and Data Mining**. [S.l.: s.n.], 2016. p. 785–794. 6, 21

CHRSTEN, P. **Data Matching: Concepts and Techniques for Record Linkage, Entity Resolution, and Duplicate Detection**. Berlin, Heidelberg: Springer, 2012. 1, 2, 3, 4, 5, 6, 7, 8, 9, 10, 18, 20, 25, 26, 28, 32, 34, 38

COELI, C. M.; JR., K. R. d. C. Avaliação de diferentes estratégias de blocagem no relacionamento probabilístico de registros. **Revista Brasileira de Epidemiologia**, v. 5, n. 2, p. 185–196, 2002. 1, 3, 4, 9, 10, 11, 13, 17

COELI, C. M. et al. Record linkage under suboptimal conditions for data-intensive evaluation of primary care in Rio de Janeiro, Brazil. **BMC Medical Informatics and Decision Making**, v. 21, n. 1, p. 190, 2021. [S2] Describes strategies for linking Brazilian databases with poor-quality identifiers, combining deterministic, probabilistic, and clerical review approaches. 17, 26, 39, 41, 45, 49

de Savigny, D.; ADAM, T. **Systems Thinking for Health Systems Strengthening**. Geneva: World Health Organization, 2009. ISBN 978-92-4-156389-5. 44

DOIDGE, J. C.; HARRON, K. Demystifying probabilistic linkage: Common myths and misconceptions. **International Journal of Population Data Science**, v. 3, n. 1, p. 410, 2018. [S1] Clarifies common misconceptions about probabilistic vs deterministic linkage, highlighting how implementation choices affect outputs. 26, 43

DOIDGE, J. C.; HARRON, K. L. Reflections on modern methods: linkage error bias. **International Journal of Epidemiology**, v. 48, n. 6, p. 2050–2060, 2019. [S1] Conceptual framework for understanding how linkage error leads to information and selection bias in epidemiological studies using linked data. 25, 30, 32, 38, 40, 49

DONABEDIAN, A. The quality of care: How can it be assessed? **JAMA**, v. 260, n. 12, p. 1743–1748, 1988. 1

DUVALL, S. L.; KERBER, R. A.; THOMAS, A. Extending the Fellegi–Sunter probabilistic record linkage method for approximate field comparators. **Journal of Biomedical Informatics**, v. 43, n. 1, p. 24–30, 2010. [S7] Extends the Fellegi-Sunter method to incorporate approximate string comparators in weight calculation, reducing misclassification by 25%. 26, 34

ENAMORADO, T.; FIFIELD, B.; IMAI, K. Using a probabilistic model to assist merging of large-scale administrative records. **American Political Science Review**, v. 113, n. 2, p. 353–371, 2019. 4

ENAMORADO, T.; FIFIELD, B.; IMAI, K. Using a probabilistic model to assist merging of large-scale administrative records. **American Political Science Review**, v. 113, n. 2, p. 353–371, 2019. [S7] Modern implementation of Fellegi-Sunter with Bayesian extensions for merging large-scale administrative records, introducing the fastLink package. 26, 32

FELLEGI, I. P.; SUNTER, A. B. A theory for record linkage. **Journal of the American Statistical Association**, v. 64, n. 328, p. 1183–1210, 1969. 1, 2, 4, 5, 6, 8, 9, 28, 37

GALAR, M. et al. A review on ensembles for the class imbalance problem: bagging-, boosting-, and hybrid-based approaches. **IEEE Transactions on Systems, Man, and Cybernetics, Part C (Applications and Reviews)**, v. 42, n. 4, p. 463–484, 2012. [S5] Comprehensive review of ensemble methods for class imbalance, covering bagging, boosting, and hybrid approaches relevant to health ML applications. 28, 29, 32

GERHARDT, T. E. Itinerários terapêuticos em situações de pobreza: diversidade e pluralidade. **Cadernos de Saúde Pública**, v. 22, n. 11, p. 2449–2463, 2006. 46

GUPTA, A. K. et al. A framework for a consistent and reproducible evaluation of manual review for patient matching algorithms. **Journal of the American Medical Informatics Association**, v. 29, n. 12, p. 2105–2109, 2022. [S8] Proposes a systematic framework for creating and evaluating manually reviewed gold standard record linkage datasets. 37, 48

GUPTA, A. K. et al. Manual evaluation of record linkage algorithm performance in four real-world datasets. **Applied Clinical Informatics**, v. 15, n. 3, p. 620–628, 2024. [S8] Evaluates record linkage algorithms against manually-reviewed gold standard across four real-world healthcare datasets. 37, 48

HALLAL, P. C. et al. SARS-CoV-2 antibody prevalence in Brazil: Results from two successive nationwide serological household surveys. **The Lancet Global Health**, v. 8, n. 10, p. e1390–e1398, 2020. 12, 44

HAND, D. J.; CHRISTEN, P. A note on using the F-measure for evaluating record linkage algorithms. **Statistics and Computing**, v. 28, p. 539–547, 2018. 6, 8, 21, 22

HANEEF, R. et al. Methodological guidelines to estimate population-based health indicators using linked data and/or machine learning techniques. **Archives of Public Health**, v. 80, n. 1, p. 9, 2022. 11, 23

HARRON, K. L. et al. A guide to evaluating linkage quality for the analysis of linked data. **International Journal of Epidemiology**, v. 46, n. 5, p. 1699–1710, 2017. [S1] Seminal guide providing a systematic framework for evaluating record linkage quality, including metrics for false matches and missed matches. 25, 42, 47, 49

HASSANI, H. et al. An oversampling-undersampling strategy for large-scale data linkage. **Frontiers in Big Data**, v. 8, p. 1542483, 2025. 2, 7, 11, 21

HASTIE, T.; TIBSHIRANI, R.; FRIEDMAN, J. **The Elements of Statistical Learning: Data Mining, Inference, and Prediction**. 2nd. ed. New York: Springer, 2009. 6, 7, 20, 21, 22, 24

HE, H.; GARCIA, E. A. Learning from imbalanced data. **IEEE Transactions on Knowledge and Data Engineering**, v. 21, n. 9, p. 1263–1284, 2009. 2, 7, 10, 18, 23, 25, 26, 28

HORNBROOK, M. C.; HURTADO, A. V.; JOHNSON, R. E. Health care episodes: Definition, measurement and use. **Medical Care Review**, v. 23, n. 2, p. 171–187, 1985. 45

- JARDIM, M. A. P. **Comparador de Registros**. 2024. Repositório GitHub. Licença GPL-3.0. Reimplementação em Python do comparador de registros probabilístico proposto por (LUCENA, 2013). Acesso em: 8 fev. 2026. Disponível em: <<https://github.com/marco-jardim/Comparador-de-Registros>>. 2, 8, 18, 19, 26, 27, 36, 47, 53, 61
- JARO, M. A. Advances in record-linkage methodology as applied to matching the 1985 census of Tampa, Florida. **Journal of the American Statistical Association**, v. 84, n. 406, p. 414–420, 1989. 4
- JIAO, Y. et al. A new hybrid record linkage process to make epidemiological databases interoperable: application to the gemo and genepso studies involving brca1 and brca2 mutation carriers. **BMC Medical Research Methodology**, v. 21, n. 1, p. 155, 2021. 2, 7, 10
- JOHNSON, J. M.; KHOSHGOFTAAR, T. M. Survey on deep learning with class imbalance. **Journal of Big Data**, v. 6, n. 1, p. 27, 2019. [S5] Survey of deep learning approaches for handling class imbalance, with applications across health and medical domains. 25, 36
- JR, K. R. d. C.; COELI, C. M. Reclink: aplicativo para o relacionamento de bases de dados, implementando o método probabilístico. **Cadernos de Saúde Pública**, v. 16, n. 2, p. 439–447, 2000. 1, 2, 4, 5, 8, 9, 10, 11, 13, 16, 19, 20
- KE, G. et al. Lightgbm: A highly efficient gradient boosting decision tree. In: GUYON, I. et al. (Ed.). **Advances in Neural Information Processing Systems**. Curran Associates, Inc., 2017. v. 30. Acesso em: 8 fev. 2026. Disponível em: <https://proceedings.neurips.cc/paper_files/paper/2017/file/6449f44a102fde848669bdd9eb6b76fa-Paper.pdf>. 21
- KESSNER, D. M.; KALK, C. E.; SINGER, J. Assessing health quality — the case for tracers. **New England Journal of Medicine**, v. 288, n. 4, p. 189–194, 1973. 12
- KIMBALL, R.; ROSS, M. **The Data Warehouse Toolkit: The Definitive Guide to Dimensional Modeling**. 3rd. ed. Indianapolis: Wiley, 2013. 46
- LAM, J. et al. Generating synthetic identifiers to support development and evaluation of data linkage methods. **International Journal of Population Data Science**, v. 9, n. 1, p. 2389, 2024. [S8] Proposes generating synthetic identifiers as gold standard for developing and evaluating linkage methods without privacy concerns. 37, 49
- LIMA, S. V. M. A. et al. Quality of tuberculosis information systems after record linkage. **Revista Brasileira de Enfermagem**, v. 73, n. suppl 5, p. e20200536, 2020. [S4] Analyzes TB information system quality after deterministic linkage between SINAN and SIM in Sergipe, Brazil, finding 190 new unreported cases. 29, 40, 44, 49
- LUCENA, F. d. **Algoritmos para o relacionamento probabilístico de registros de base de dados em saúde**. Dissertação (Dissertação de Mestrado) — Instituto de Estudos em Saúde Coletiva, Universidade Federal do Rio de Janeiro, Rio de Janeiro, 2013. Acesso em: 8 fev. 2026. Disponível em: <<http://objdig.ufrj.br/96/teses/820945.pdf>>. 2, 8, 18, 19, 26, 47, 56, 61

LUKE, D. A.; STAMATAKIS, K. A. Systems science methods in public health: Dynamics, networks, and agents. **Annual Review of Public Health**, v. 33, p. 357–376, 2012. 44

LUNDBERG, S. M. et al. From local explanations to global understanding with explainable AI for trees. **Nature Machine Intelligence**, v. 2, n. 1, p. 56–67, 2020. [S6] Extends SHAP for tree-based models with TreeSHAP algorithm, enabling efficient global and local interpretability in clinical ML applications. 36, 45, 47

LUNDBERG, S. M.; LEE, S.-I. **A Unified Approach to Interpreting Model Predictions**. 2017. Apresentado no NIPS 2017. Acesso em: 8 fev. 2026. Disponível em: <<https://arxiv.org/abs/1705.07874>>. 22, 24, 36, 45

MACINKO, J.; HARRIS, M. J. Brazil's Family Health Strategy — delivering community-based primary care in a universal health system. **New England Journal of Medicine**, v. 372, n. 23, p. 2177–2181, 2015. 4

MAIA, C. M. d. et al. Impact of COVID-19 on tuberculosis indicators in Brazil: A time-series analysis. **Journal of Clinical Tuberculosis and Other Mycobacterial Diseases**, v. 29, p. 100325, 2022. DOI not available — original DOI 10.1016/j.jctube.2022.100325 resolves to a different article. 12, 44

MARKUS, A. F.; KORS, J. A.; RIJNBEEK, P. R. The role of explainability in creating trustworthy artificial intelligence for health care: A comprehensive survey of the terminology, design choices, and evaluation strategies. **Journal of Biomedical Informatics**, v. 113, p. 103655, 2021. [S6] Comprehensive survey on explainable AI for healthcare, covering terminology, design choices, and evaluation strategies for trustworthy clinical ML. 36, 46, 47, 50

MENDES, E. V. As redes de atenção à saúde. **Ciência & Saúde Coletiva**, v. 15, n. 5, p. 2297–2305, 2010. 44

NASSEH, D.; STAUSBERG, J. Evaluation of a binary semi-supervised classification technique for probabilistic record linkage. **Methods of Information in Medicine**, v. 55, n. 2, p. 136–143, 2016. 2, 6

NEWCOMBE, H. B. et al. Automatic linkage of vital records. **Science**, v. 130, n. 3381, p. 954–959, 1959. 1, 4

OLIVEIRA, G. P. d. et al. Acurácia do relacionamento probabilístico e determinístico de registros: o caso da tuberculose. **Revista de Saúde Pública**, v. 50, p. 49, 2016. 11, 17

OLIVEIRA, G. P. d. et al. Uso do sistema de informação sobre mortalidade para identificar subnotificação de casos de tuberculose no Brasil. **Revista Brasileira de Epidemiologia**, v. 15, n. 3, p. 468–477, 2012. 2, 4, 10, 12, 16, 17, 21

OLIVEIRA, S. P. d. et al. Early death by tuberculosis as the underlying cause in a state of Southern Brazil: Profile, comorbidities and associated vulnerabilities. **International Journal of Infectious Diseases**, v. 80, n. S, p. S50–S57, 2019. [S4] Investigates early TB deaths in Paraná State using linkage between mortality and TB notification databases, identifying comorbidity patterns. 37, 40

PACHECO, A. G. et al. Validation of a hierarchical deterministic record-linkage algorithm using data from 2 different cohorts of HIV-infected persons and mortality databases in Brazil. **American Journal of Epidemiology**, v. 168, n. 11, p. 1326–1332, 2008. [S2] Validates a hierarchical deterministic linkage algorithm for linking HIV cohort data with SIM mortality databases in Brazil. 39

PAIM, J. et al. The Brazilian health system: History, advances, and challenges. **The Lancet**, v. 377, n. 9779, p. 1778–1797, 2011. 4, 16

PAIXÃO, E. S. et al. Evaluation of record linkage of two large administrative databases in a middle income country: stillbirths and notifications of dengue during pregnancy in Brazil. **BMC Medical Informatics and Decision Making**, v. 17, n. 1, p. 108, 2017. [S2] Evaluates quality of record linkage between SINASC and SINAN in Brazil, demonstrating methodology for assessing linkage accuracy in LMIC settings. 26, 41

PINHEIRO, R. S.; ANDRADE, V. d. L.; OLIVEIRA, G. P. d. Subnotificação da tuberculose no sistema de informação de agravos de notificação (SINAN): abandono primário de bacilíferos e captação de casos em outras fontes de informação usando linkage probabilístico. **Cadernos de Saúde Pública**, v. 28, n. 8, p. 1559–1568, 2012. 2, 10, 12

PINTO, I. V. et al. Factors associated with death in women with intimate partner violence notification in Brazil. **Ciência & Saúde Coletiva**, v. 26, n. 3, p. 975–985, 2021. [S2] Case-control study using record linkage between SIM and SINAN to investigate factors associated with death in women with intimate partner violence in Brazil. 37

PLSEK, P. E.; GREENHALGH, T. The challenge of complexity in health care. **BMJ**, v. 323, n. 7313, p. 625–628, 2001. 44

RAFAEL, R. de M. R. et al. Accuracy, potential, and limitations of probabilistic record linkage in identifying deaths by gender identity and sexual orientation in the state of Rio de Janeiro, Brazil. **BMC Public Health**, v. 24, n. 1, p. 1475, 2024. [S2] Evaluates accuracy of probabilistic record linkage for identifying deaths by gender identity using Brazilian health databases. 32, 39

RANZANI, O. T. et al. Characterisation of the first 250,000 hospital admissions for COVID-19 in Brazil: a retrospective analysis of nationwide data. **The Lancet Respiratory Medicine**, v. 9, n. 4, p. 407–418, 2021. 12, 44

ROCHA, M. S. et al. Do que morrem os pacientes com tuberculose: causas múltiplas de morte de uma coorte de casos notificados e uma proposta de investigação de causas presumíveis. **Cadernos de Saúde Pública**, v. 31, n. 4, p. 709–721, 2015. 2, 4, 10, 12

ROCHA, M. S. et al. Uso de linkage entre diferentes bases de dados para qualificação de variáveis do Sinan-TB e a partir de regras de scripting. **Cadernos de Saúde Pública**, v. 35, n. 12, p. e00074318, 2019. 12

ROUX, A. V. D. Complex systems thinking and current impasses in health disparities research. **American Journal of Public Health**, v. 101, n. 8, p. 1382–1389, 2011. 44

SANTOS, M. L. et al. Fatores associados à subnotificação de tuberculose com base no Sinan Aids e Sinan Tuberculose. **Revista Brasileira de Epidemiologia**, v. 21, p. e180019, 2018. [S4] Estimates 29% TB underreporting in Pernambuco using probabilistic linkage between Sinan-TB and Sinan-AIDS with RecLink III. 37

SANTOS, M. L.; COELI, C. M. et al. Fatores associados à subnotificação de tuberculose a partir do linkage SINAN-AIDS e SINAN-TB. **Revista Brasileira de Epidemiologia**, v. 21, p. e180019, 2018. 16, 40

SARIYAR, M.; BORG, A. Bagging, bumping, multiview, and active learning for record linkage with empirical results on patient identity data. **Computer Methods and Programs in Biomedicine**, v. 108, n. 3, p. 1160–1169, 2012. 7, 20

SCHNELL, R.; WEIAND, S. V. Microsimulation of an educational attainment register to predict future record linkage quality. **International Journal of Population Data Science**, v. 8, n. 1, p. 2122, 2023. 3, 9

SHAW, R. J. et al. Biases arising from linked administrative data for epidemiological research: a conceptual framework from registration to analyses. **European Journal of Epidemiology**, v. 37, n. 12, p. 1215–1224, 2022. [S2] Conceptual framework for understanding biases in linked administrative data, with examples from the 100 Million Brazilian Cohort including SIM and SIH. 30, 38, 40, 49

SILVA, M. E. M. da. **Linkage de Bases de Dados Identificadas em Saúde: Consentimento, Privacidade e Segurança da Informação**. Tese (Tese de Doutorado) — Universidade Federal do Rio de Janeiro, Rio de Janeiro, Brasil, 2012. Orientadora: Profª Cláudia Medina Coeli. 5

SOUZA, L. M. O. d.; PINHEIRO, R. S. Óbitos e internações por tuberculose não notificados no município do Rio de Janeiro. **Revista de Saúde Pública**, v. 45, n. 1, p. 31–39, 2011. 2, 4, 10, 12, 21

STERMAN, J. D. **Business Dynamics: Systems Thinking and Modeling for a Complex World**. Boston: McGraw-Hill, 2000. 44

TASSINARI, W. et al. Record linkage in public health datasets: a practical experience in a fast in-process analytical database. **Revista Brasileira de Epidemiologia**, v. 28, p. e250053, 2025. [S2] Presents accuracy of a mixed-approach algorithm for linking SIM and SIVEP-Gripe records implemented in DuckDB, demonstrating modern computational approaches. 39

TYAGI, K.; WILLIS, S. J. Accuracy of privacy preserving record linkage for real world data in the United States: a systematic review. **JAMIA Open**, v. 8, n. 1, p. ooaf002, 2025. [S1] Systematic review of privacy-preserving record linkage methods, evaluating accuracy across real-world datasets in the US context. 29, 34

VIACAVA, F. et al. Avaliação de desempenho de sistemas de saúde: um modelo de análise. **Ciência & Saúde Coletiva**, v. 17, n. 4, p. 921–934, 2012. 1, 4, 11

VO, T. H. et al. Extending the Fellegi-Sunter record linkage model for mixed-type data with application to the French national health data system. **Computational Statistics & Data Analysis**, v. 179, p. 107656, 2023. [S7] Extends Fellegi-Sunter for mixed-type

comparison data (binary and continuous) using an ECM algorithm, applied to the French national health data system. 32

VO, T. T.; LEE, J. Statistical supervised meta-ensemble algorithm for medical record linkage. **Journal of Biomedical Informatics**, v. 95, p. 103220, 2019. 2, 7, 9, 10

WINKLER, W. E. **String Comparator Metrics and Enhanced Decision Rules in the Fellegi–Sunter Model of Record Linkage**. Washington, DC, 1990. 4, 18

World Health Organization. **Global Tuberculosis Report 2024**. Geneva, 2024. Acesso em: 8 fev. 2026. Disponível em: <<https://www.who.int/teams/global-tuberculosis-programme/tb-reports/global-tuberculosis-report-2024>>. 2, 10, 12

Capítulo 9

Glossário de Termos Técnicos

Este glossário apresenta definições de termos técnicos utilizados ao longo desta tese, visando facilitar a compreensão de conceitos que podem ser menos familiares aos profissionais da área de saúde coletiva.

Acurácia Proporção de classificações corretas (verdadeiros positivos e verdadeiros negativos) em relação ao total de pares avaliados.

Área cinza Região de escores intermediários no relacionamento probabilístico, onde os pares candidatos não podem ser classificados automaticamente como verdadeiros ou falsos, demandando revisão adicional.

Blocagem Estratégia de redução do espaço de comparação no relacionamento de registros, que agrupa candidatos por chaves comuns (ex.: *Soundex* do nome, ano de nascimento) para evitar a comparação exaustiva de todos os pares possíveis.

Classificação Tarefa de aprendizado supervisionado que atribui rótulos discretos (par verdadeiro ou não-par) a instâncias com base em atributos preditores.

Comparador de registros Ferramenta que calcula escores de similaridade campo a campo entre pares candidatos, produzindo subescores individuais e um escore final agregado. Neste trabalho, foi utilizada uma implementação em Python (JARDIM, 2024) do algoritmo proposto por Lucena (LUCENA, 2013).

Deduplicação Processo de identificação e remoção de registros duplicados referentes a um mesmo indivíduo dentro de uma única base de dados.

Desbalanceamento de classes Situação em que uma classe (tipicamente os pares verdadeiros) é muito menos frequente que a outra (não-pares), podendo comprometer o desempenho de classificadores.

Ensemble Abordagem que combina múltiplos classificadores para produzir uma decisão agregada, frequentemente superior ao desempenho individual de cada modelo.

Escore de similaridade Valor numérico que quantifica o grau de concordância entre campos de dois registros comparados (ex.: distância de Jaro-Winkler para nomes).

Framework Estrutura metodológica para organização reproduzível de componentes, etapas e critérios de decisão em um processo analítico.

F₁-Score Média harmônica entre precisão e sensibilidade, utilizada como métrica-síntese do desempenho de classificadores.

Gradient Boosting Família de algoritmos de aprendizado de máquina que constrói modelos sequenciais, cada um corrigindo erros do anterior, incluindo implementações como XGBoost e LightGBM.

Linkage Ver *Relacionamento de registros*.

OpenRecLink Software brasileiro de código aberto para relacionamento probabilístico de registros, desenvolvido por Camargo Jr. e Coeli.

Pipeline Sequência operacional de etapas analíticas e decisórias, desde a preparação dos dados até a geração de resultados.

Par candidato Combinação de dois registros, provenientes de bases distintas, que foram selecionados pela etapa de blocagem para comparação detalhada.

Par verdadeiro Par de registros que se refere ao mesmo indivíduo, confirmado por revisão manual ou padrão-ouro.

Precisão Proporção de pares classificados como verdadeiros que são efetivamente verdadeiros (*Positive Predictive Value*).

Random Forest Algoritmo de aprendizado de máquina baseado em múltiplas árvores de decisão treinadas em subamostragens aleatórias dos dados.

Relacionamento de registros Processo de identificação de registros referentes ao mesmo indivíduo em duas ou mais bases de dados distintas (*record linkage*).

Relacionamento determinístico Estratégia de *linkage* baseada em regras exatas de concordância entre campos identificadores.

Relacionamento probabilístico Estratégia de *linkage* fundamentada na teoria de Fellegi e Sunter, que atribui pesos aos campos comparados e calcula um escore composto para classificar pares.

Sensibilidade Proporção de pares verdadeiros corretamente identificados pelo classificador (*Recall*).

Stacking Técnica de *ensemble* que utiliza as saídas de múltiplos classificadores de base como atributos de entrada para um meta-classificador.

Tuberculose (TB) Doença infecciosa de notificação compulsória utilizada neste trabalho como condição marcadora para avaliação do relacionamento de bases de dados.

Validação cruzada Técnica de avaliação que partitiona os dados em k subconjuntos (*folds*), treinando o modelo em $k-1$ partições e avaliando na restante, repetindo o processo k vezes para obter estimativas de desempenho com variância reduzida (*cross-validation, CV*).